

第四章 根轨迹法

A 一般题

A4-1 已知单位反馈系统的开环传递函数为 $G(s) = \frac{K_r(s+1)}{s^2(s+a)}$ 分别画出 $a=5, a=9, a=10$ 的

根轨迹草图, 并计算根轨迹在实轴上的分离点(或会合点), 根轨迹渐近线与实轴的夹角和交点。

解:

1. 由题可知, 根轨迹有 3 条分支。

当 $a=5$ 时, 根轨迹的起点分别是 $p_1=0, p_2=0, p_3=-5$ 。一条终止于 $z_1=-1$, 另两条趋向无穷远。

当 $a=9$ 时, 根轨迹的起点分别是 $p_1=0, p_2=0, p_3=-9$ 。一条终止于 $z_1=-1$, 另两条趋向无穷远。

当 $a=10$ 时, 根轨迹的起点分别是 $p_1=0, p_2=0, p_3=-10$ 。一条终止于 $z_1=-1$, 另两条趋向无穷远。

2. 根据实轴上的根轨迹判断规则, 其右边实轴上的零点和极点之和为奇数。

当 $a=5$ 时, 实轴的 $[-5, -1]$ 段是根轨迹;

当 $a=9$ 时, 实轴的 $[-9, -1]$ 段是根轨迹;

当 $a=10$ 时, 实轴的 $[-10, -1]$ 段是根轨迹;

3. 求渐近线与实轴的夹角和交点。

渐近线和实轴的夹角是:

$$\rho = \frac{(2\lambda+1)\pi}{2}, \lambda = 0, \pm 1, \pm 2, \dots$$

$$\lambda = 0, \rho = \frac{\pi}{2}, \quad \lambda = 1, \rho = \frac{3\pi}{2};$$

$a=5$ 时.

$$\text{渐近线与实轴的交点为: } \sigma = \frac{(-5) - (-1)}{2} = -2.$$

$a=9$ 时.

$$\text{渐近线与实轴的交点为: } \sigma = \frac{(-9) - (-1)}{2} = -4.$$

$a=10$ 时.

$$\text{渐近线与实轴的交点为: } \sigma = \frac{(-10) - (-1)}{2} = -4.5.$$

4. 计算根轨迹在实轴上的分离点(会合点)。

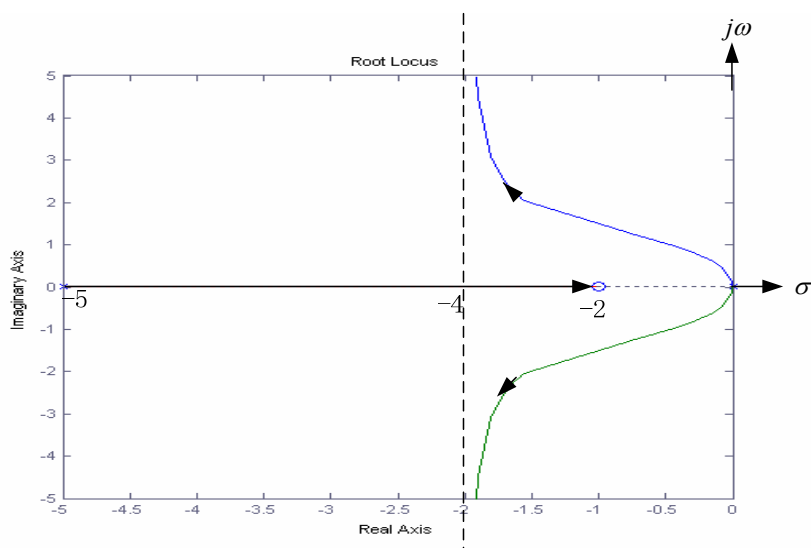
$a=5$ 时, 由计算分离点和会合点的公式得到:

$$P(s)Z'(s) - P'(s)Z(s) = -(2s^3 + 8s^2 + 10s) = 0$$

求解上式的根, 得到为: $s_1=0, s_{2,3}=-2\pm i$

将以上方程的根代入式 $K_r = -\frac{P(s)}{Z(s)}$, 有 $s_1=0$ 时, $K_r=0$, $s_{2,3}=-2\pm i$ 时, K_r 为负值, 根

轨迹的分离点为 $s_1=0$ 。



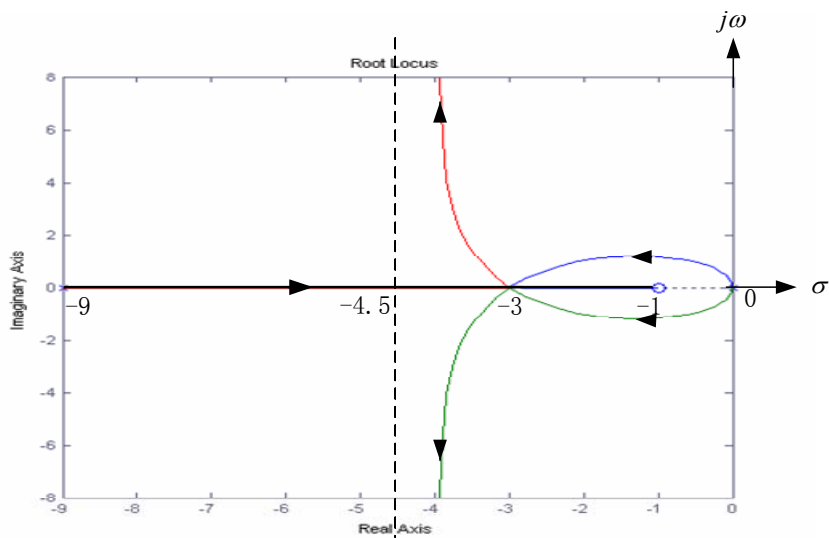
a=5 时的根轨迹图形

a=9 时,

$$P(s)Z'(s) - P'(s)Z(s) = -(2s^3 + 12s^2 + 18s) = 0$$

求解上式的根, 得到为: $s_1=0$, $s_2=-3$.

将以上方程的根代入式 $K_r = -\frac{P(s)}{Z(s)}$, 有 $s_1=0$ 时, $K_r=0$, $s_2=-3$ 时, $K_r=27$, 根轨迹的分离点为 $s_1=0$. 会合点为 $s_2=-3$.



a=9 时的根轨迹图形

a=10 时,

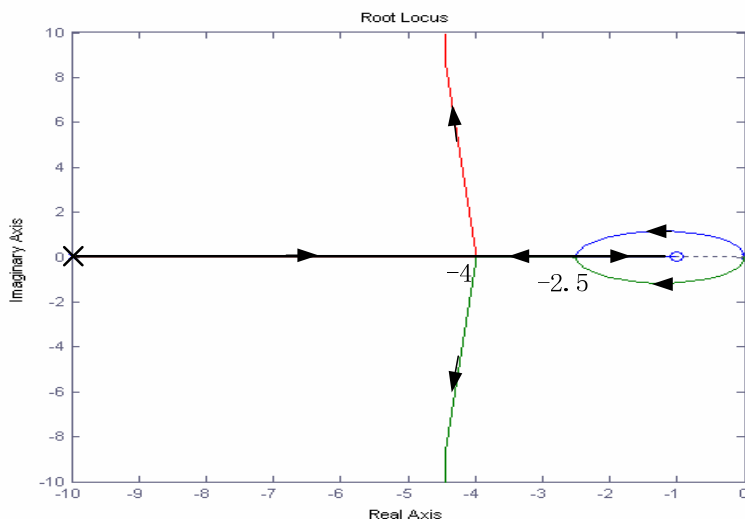
$$P(s)Z'(s) - P'(s)Z(s) = -(2s^3 + 13s^2 + 20s) = 0$$

求解上式的根, 得到为: $s_1=0$, $s_2=-2.5$, $s_3=-4$.

将以上方程的根代入式 $K_r = -\frac{P(s)}{Z(s)}$, 有 $s_1=0$ 时, $K_r=0$, $s_2=-2.5$, $s_3=-4$ 时, K_r 均取正

值, 根轨迹的分离点为 $s_1=0, s_3=-4$. 会合点为 $s_2=-2.5$

由上分别绘制根轨迹图形如下所示.



a=10 时的根轨迹图形

A4-2 在工业过程控制中广泛应用 PID 控制器, 这种控制器的传递函数为

$$G_c(s) = K_p + \frac{K_I}{s} + K_D s \quad (\text{A4-1})$$

式中, K_p 为比例增益, K_I 为积分增益, K_D 为微分增益。假设控制器的输入信号为 $e(t)$, 输出信号为 $u(t)$, 则

$$u(t) = K_p e(t) + K_I \int e(t) dt + K_D \frac{de(t)}{dt} \quad (\text{A4-2})$$

即控制器的输出中包含有输入信号的比例、积分和微分项, 故称为 PID 控制器。

若 $K_D = 0$, 就是比例加积分 (PI) 控制器

$$G_c(s) = K_p + \frac{K_I}{s} \quad (\text{A4-3})$$

若 $K_I = 0$, 就是比例加微分 (PD) 控制器

$$G_c(s) = K_p + K_D s \quad (\text{A4-4})$$

PID 控制器为过程控制提供了一种便于调节的通用控制器, 对于不同控制对象, 设定不同的比例增益 K_p 、积分增益 K_I 和微分增益 K_D , 便可获得良好的控制效果。式 (A4-1) 可改写为

$$G_c(s) = \frac{K_D s^2 + K_p s + K_I}{s}$$

或

$$G_c(s) = \frac{K_D(s^2 + \alpha s + \beta)}{s}$$

式中, $\alpha = \frac{K_p}{K_D}, \beta = \frac{K_I}{K_D}$ 。

考虑控制对象

$$G(s) = \frac{1}{(s+0.5)(s+1.5)}$$

应用 PID 控制器的系统方块图 (图 A4-1)。

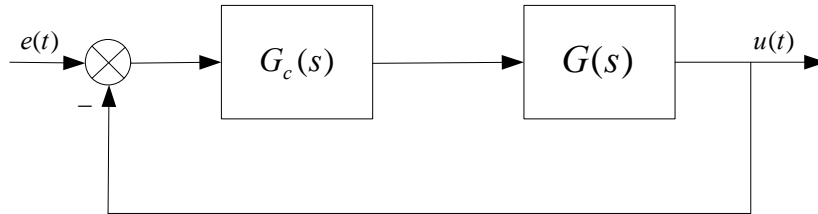


图 A4-1 带 PID 控制器的系统方块图

- (1) 绘制原系统 ($G_c(s)=1$) 的根轨迹草图, 并求闭环系统的特征根及单位阶跃响应的超调量和 2% 准则的调节时间 t_s ;
- (2) 引入 PID 控制器 $G_c(s)$: $K_p=12$, $K_I=20$, $K_D=2$, 绘制闭环系统的根轨迹草图, 并求闭环系统的特征根及单位阶跃响应的超调量和 2% 准则的调节时间 t_s ;
- (3) 讨论在 PID 控制器中 K_p 、 K_I 和 K_D 对闭环系统性能的影响, 说明其原理。

解:

- (1) 根轨迹起始于开环极点, 终止于开环零点, 开环极点为 $p_1=-0.5$, $p_2=-1.5$, 无开环零点。

实轴上的 $[-1.5, -0.5]$ 段是根轨迹。

渐近线和实轴的夹角:

$$\rho = \frac{(2\lambda+1)\pi}{2}, \lambda = 0, \pm 1, \pm 2, \dots$$

$$\lambda = 0, \rho = \frac{\pi}{2}, \quad \lambda = 1, \rho = \frac{3\pi}{2};$$

渐近线与实轴的交点:

$$\sigma = \frac{(-1.5) + (-0.5)}{2} = -1.$$

计算根轨迹在实轴上的分离点(会合点)。

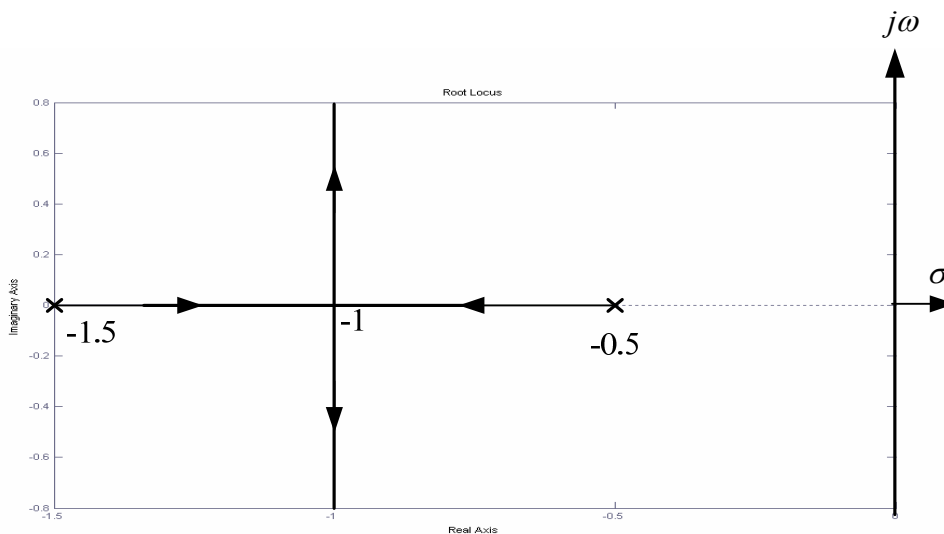
$$P(s)Z'(s) - P'(s)Z(s) = -(2s+2) = 0$$

求解上式的根, 得到为: $s_1=-1$ 。

将以上方程的根代入式 $K_r = -\frac{P(s)}{Z(s)}$, 得到 $s_1=-1$ 时, $K_r=0.25$, 根轨迹的分离点为

$s_1=-1$ 。

绘制原系统根轨迹图如下所示:



系统的特征方程为: $s^2 + 2s + 1.75 = 0$

闭环系统特征根: $-1.0000 \pm 0.8660i$, 即 $\zeta\omega_n = 1$, $\omega_n\sqrt{1-\zeta^2} = 0.866$,

可求 $\omega_n = 1.323$, $\zeta = 0.756$.

于是单位阶跃响应的超调量为 $M_p = e^{-\pi\zeta/\sqrt{1-\zeta^2}} \times 100\% = 2.65\%$

2% 误差准则的调整时间为 $t_s = \frac{4}{\zeta\omega_n} = 4s$

(2) 引入 PID 控制器后,系统的开环传递函数变为:

$$G(s)G_c(s) = \frac{2s^2 + 12s + 20}{s(s+0.5)(s+1.5)}$$

开环极点为 $p_1=0$, $p_2=-0.5$, $p_3=-1.5$, 开环零点 $z_{1,2}=-3 \pm i$.

实轴上的 $[-0.5, 0]$ 段和 $(-\infty, -1.5]$ 段是根轨迹. (令根轨迹增益 $0 \rightarrow \infty$)

渐近线和实轴的夹角:

$$\rho = \frac{(2\lambda+1)\pi}{1}, \lambda = 0, \pm 1, \pm 2, \dots$$

$$\lambda = 0, \rho = \pi.$$

即实轴就是渐近线。

计算根轨迹在实轴上的分离点和会合点

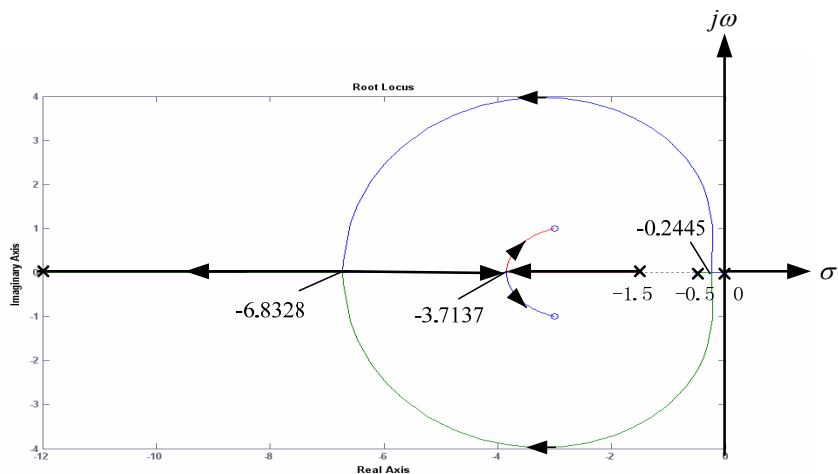
$$P(s)Z'(s) - P'(s)Z(s) = -(2s^4 + 24s^3 + 82s^2 + 80s + 15) = 0$$

该方程根为: $s_1 = -6.8328$, $s_2 = -3.7137$
 $s_3 = -1.2090$, $s_4 = -0.2445$

将以上方程的根代入式 $K_r = -\frac{P(s)}{Z(s)}$, 当 $s_1 = -6.8328$, $s_2 = -3.7137$, $s_4 = -0.2445$ 时, K_r 取

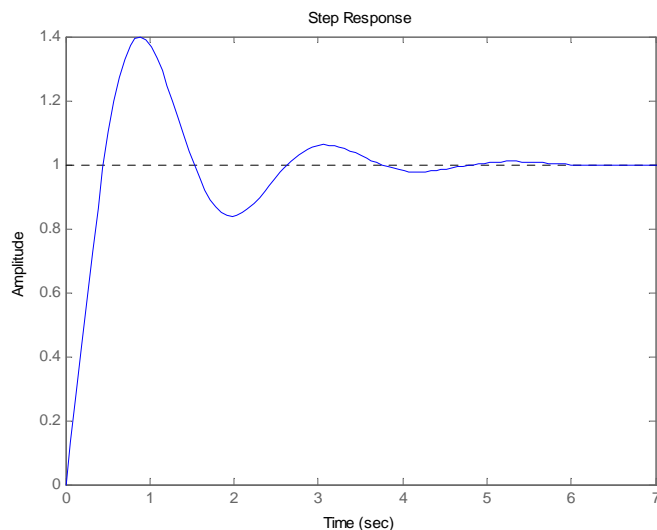
正值, $s_3 = -1.2090$ 不在根轨迹上, 根轨迹的分离点为 $s_2 = -3.7137$, $s_4 = -0.2445$, 会合点为 $s_1 = -6.8328$

系统根轨迹如下:



该系统的闭环传递函数为: $\Phi(s) = \frac{2s^2 + 12s + 20}{s^3 + 4s^2 + 12.75s + 20}$, 闭环系统的特征根为:

$-0.8664 \pm 2.8409i$, -2.2672 。系统的阶跃响应为:



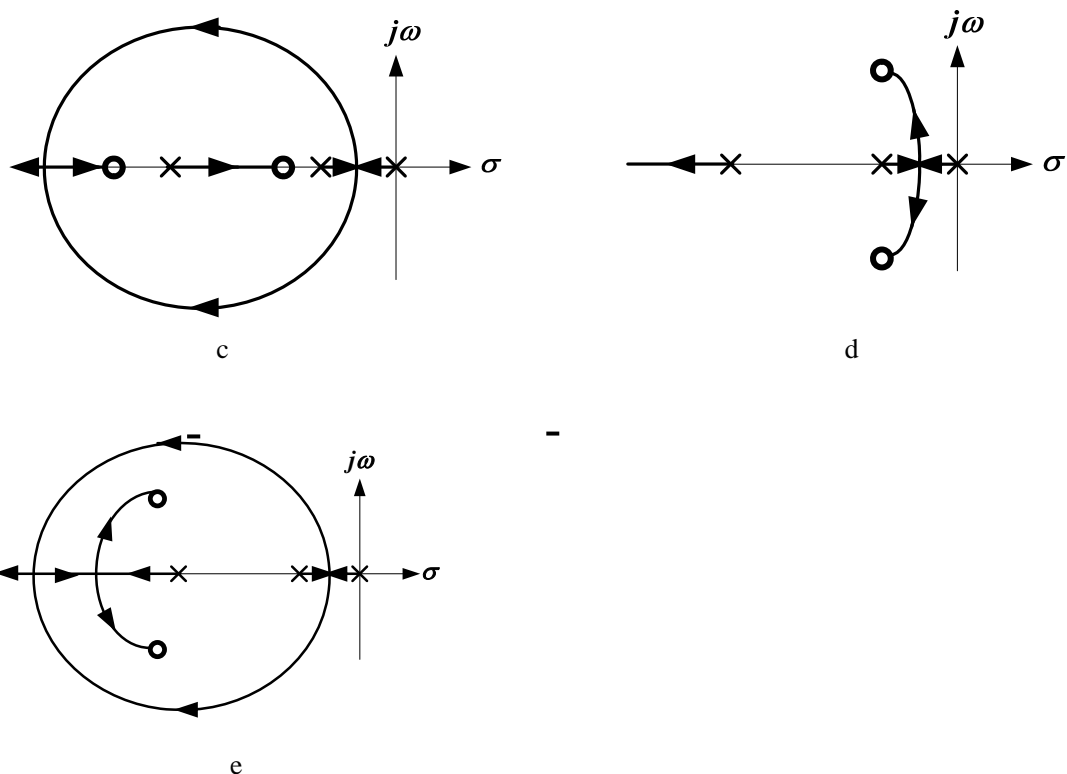
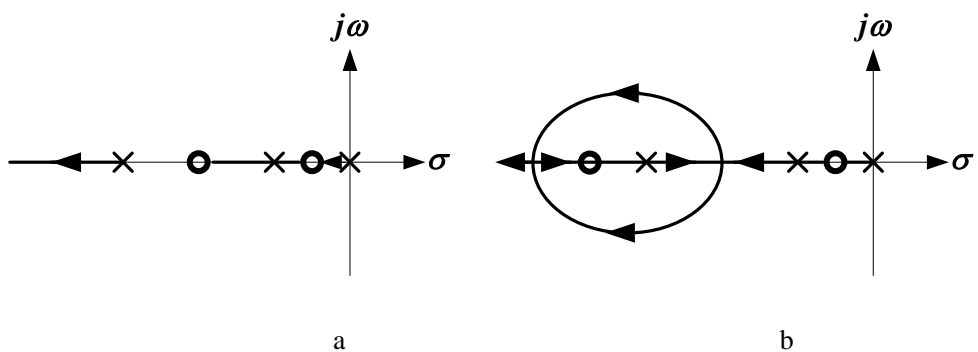
由上图可知,超调量 $M_p = 39.8\%$, 2%准则调整时间 $t_s = 4.38s$ 。

(3) 闭环传递函数为

$$\frac{K_D s^2 + K_P s + K_I}{s(s+0.5)(s+1.5)}$$

a. 在串联了 PID 控制后, 开环在原点增加了一个极点, 提高了系统的型号, 增强了系统的抗干扰能力。

b. 在串联了 PID 控制后, 开环增加了两个零点。为 $\frac{-K_P \pm \sqrt{K_P^2 - 4K_D K_I}}{2K_D}$ 。根轨迹存在如下几种变形:



从根轨迹的形状看, (c) 和 (d) 可以通过选择根轨迹增益得到比较理想的闭环极点。

从参数范围看, 当 K_I 和 K_D 不变时, 增大 K_P 使得零点靠近实轴, 最后一个零点趋于负无穷大, 一个趋向 0, 但如果太大, 可能导致系统的稳定性变差; K_I 是积分增益, K_P 和 K_D

不变时, 增大 K_I , 使得开环增益提高, 减小稳态误差, 但会使开环零点的虚部绝对值增大, 震荡的频率加快; K_D 是微分增益, 当 K_I 和 K_P 不变时, 增大 K_D 能加快系统响应速度, 但同时会增大超调量, 降低系统的稳定性。

A4-3 已知系统的开环传递函数为:

$$G(s)H(s) = \frac{K_r}{s(s+2)(s^2+2s+2)}$$

绘出系统的根轨迹图, 并求根轨迹在实轴上的分离点和根轨迹的渐近线。

解: 由题可知, 根轨迹有 4 条分支. 开环极点是 $p_1=0, p_2=-2, p_{3,4}=-1\pm i$, 开环无有限零点。

. 实轴上的根轨迹是 $[-2, 0]$;

渐近线和实轴的夹角为:

$$\rho = \frac{(2\lambda+1)\pi}{4}, \lambda = 0, \pm 1, \pm 2, \dots$$

$$\lambda = 0, \rho = \frac{\pi}{4}; \quad \lambda = 1, \rho = \frac{3\pi}{4}; \quad \lambda = 2, \rho = \frac{5\pi}{4}; \quad \lambda = 3, \rho = \frac{7\pi}{4};$$

渐近线与实轴的交点为:

$$\sigma = \frac{(-2) + (-1) + (-1)}{4} = -1.$$

计算根轨迹在实轴上的分离点.

$$P(s)Z'(s) - P'(s)Z(s) = -(4s^3 + 12s^2 + 12s + 4) = 0$$

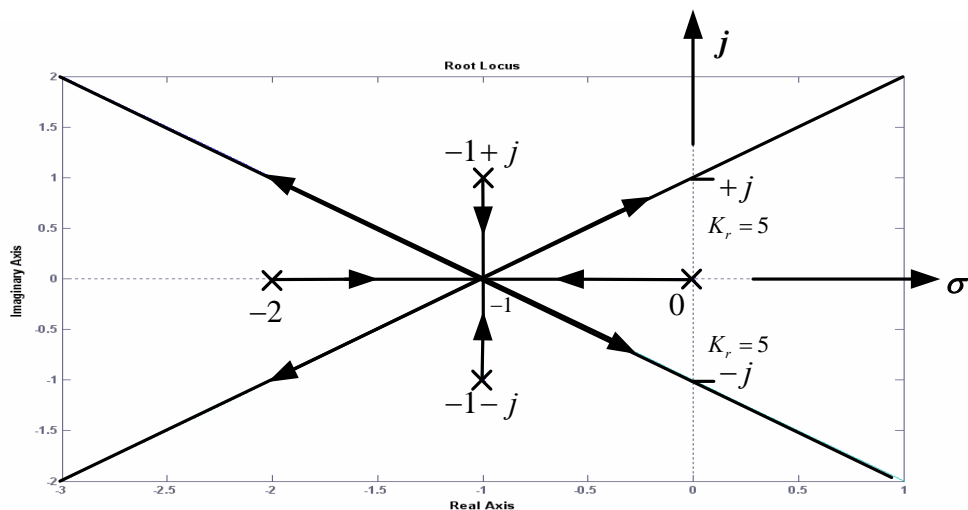
该方程的根为: $s_{1,2,3} = -1$. 将 $s = -1$ 代入式 $K_r = -\frac{P(s)}{Z(s)}$, 得 $K_r = 1$, 根轨迹的分离点为

$s = -1$.

闭环的特征方程是 $s^4 + 4s^3 + 6s^2 + 4s + K_r = 0$, 用 Routh 判据得到

$$\begin{array}{rcl} s^4 & 1 & 6 \quad K_r \\ s^3 & 4 & 4 \quad (\text{约去} 4) \\ s^2 & 5 & K_r \\ s & 5 - K_r & (\text{乘以} 5) \\ s^0 & K_r & \end{array}$$

当 $K_r = 5$ 时临界稳定, 由上行辅助方程得根轨迹与虚轴的交点为 $s_{1,2} = \pm i$ 。



A4-4 求上题闭环系统的重极点，及相应的系统增益 K_r 。

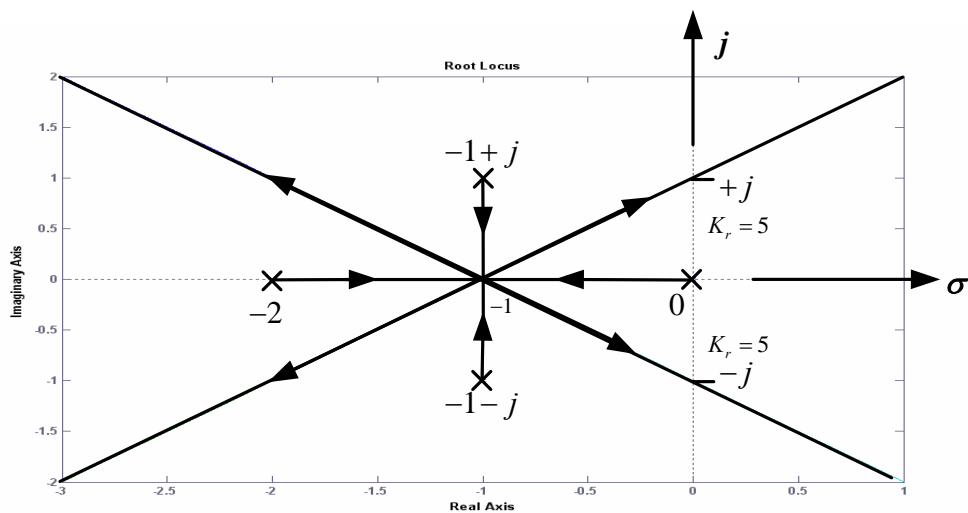
解：闭环系统的重极点就是根轨迹的交点，即分离点和会合点，由上题的根轨迹可知，闭环系统

的重极点是 -1 ，那是 4 重极点。此时 $K_r = -\frac{P(s)}{Z(s)} = 1$ 。

A4-5 绘制下列开环传递函数的根轨迹草图：

$$(1) G(s) = \frac{K_r}{s(s+2)(s^2+2s+2)}$$

解：此题与 A4-3 的根轨迹相同，步骤详见 A4-3，根轨迹如下：



$$(2) G(s) = \frac{K_r}{(s+1)(s+2)(s+3)}$$

解：由题可知，根轨迹有 3 条分支，开环极点为 $p_1=-1$, $p_2=-2$, $p_3=-3$ ，开环无零点。

实轴的 $[-2, -1]$ 段和 $(-\infty, -3]$ 段是根轨迹;

渐近线和实轴的夹角:

$$\rho = \frac{(2\lambda+1)\pi}{3}, \lambda = 0, \pm 1, \pm 2, \dots$$

$$\lambda = 0, \rho = \frac{\pi}{3}; \quad \lambda = 1, \rho = \pi; \quad \lambda = 2, \rho = \frac{5\pi}{3};$$

渐近线与实轴的交点为:

$$\sigma = \frac{(-1) + (-2) + (-3)}{3} = -2.$$

计算根轨迹在实轴上的分离点.

$$P(s)Z'(s) - P'(s)Z(s) = -(3s^2 + 12s + 11) = 0$$

该方程的根为: $s_1 = -1.4226$, $s_2 = -2.5774$

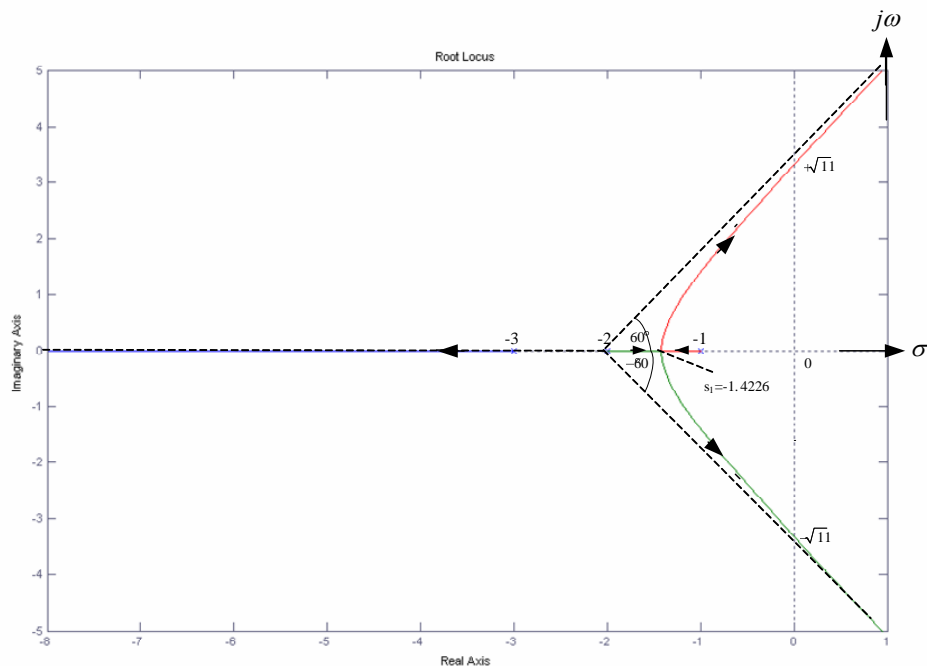
将以上方程的根代入式 $K_r = -\frac{P(s)}{Z(s)}$, 有 $s_1 = -1.4226$ 时, K_r 取正值, $s_2 = -2.5774$ 不在

根轨迹上, 根轨迹的分离点为 $s_1 = -1.4226$.

求根轨迹与虚轴的交点。由特征方程

$$1 + G(j\omega) = 0. \text{ 解得根轨迹与虚轴的交点 } \omega = \pm\sqrt{11}.$$

根轨迹图形如下所示.



$$(3) \quad G(s) = \frac{K_r(s+2)}{s(s+1)(s+3)}$$

解: 由题可知,根轨迹有 3 条分支,开环极点是 $p_1=0, p_2=-1, p_3=-3$,开环零点 $z_1=-2$

实轴的 $[-1, 0]$ 段和 $[-3, -2]$ 段是根轨迹。

渐近线和实轴的夹角:

$$\rho = \frac{(2\lambda+1)\pi}{2}, \lambda = 0, \pm 1, \pm 2, \dots$$

$$\lambda = 0, \rho = \frac{\pi}{2}, \quad \lambda = 1, \rho = \frac{3\pi}{2};$$

渐近线与实轴的交点为:

$$\sigma = \frac{(-1) + (-3) - (-2)}{2} = -1.$$

计算根轨迹在实轴上的分离点.

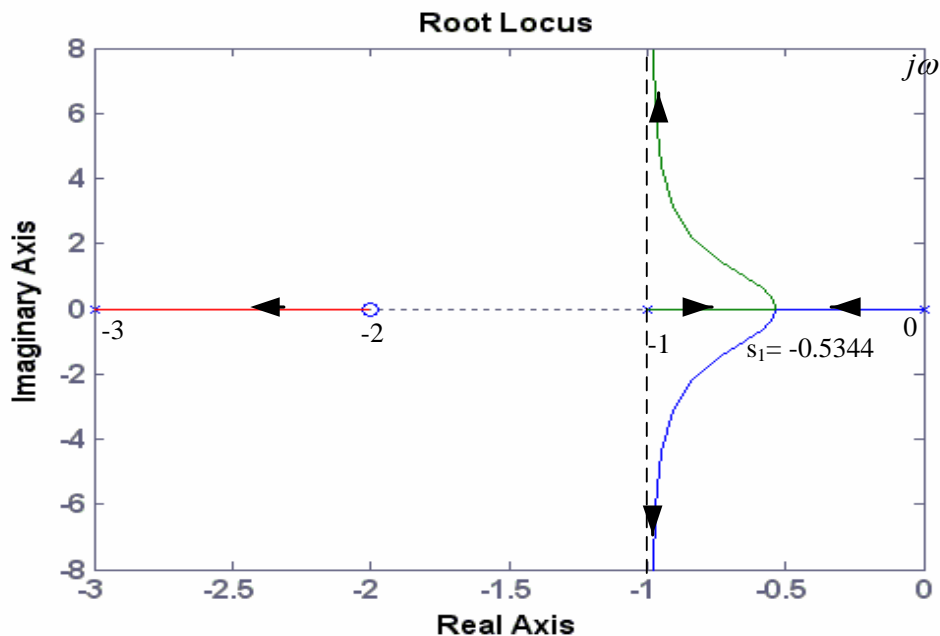
$$P(s)Z'(s) - P'(s)Z(s) = -(2s^3 + 10s^2 + 16s + 6) = 0$$

该方程的根为: $s_1=-0.5344$, $s_{2,3}=-2.2328 \pm 0.7926i$, 将以上方程的根代入式

$$K_r = -\frac{P(s)}{Z(s)}, \text{只有 } s_1 = -0.5344 \text{ 时, } K_r \text{ 取正值, 根轨迹的分离点为 } s_1 = -0.5344.$$

根轨迹与虚轴无交点。

绘制根轨迹图形如下所示.



$$(4) \quad G(s) = \frac{K_r(s+3)(s+4)}{s(s+1)(s+2)(s+5)(s+6)}$$

解: 由题可知,根轨迹有 5 条分支,开环极点为: $p_1=0, p_2=-1, p_3=-2, p_4=-5, p_5=-6$. 开环零点为

$z_1=-3, z_2=-4$.

实轴的 $[-1, 0]$ 段、 $[-3, -2]$ 段、 $[-5, -4]$ 段和 $(-\infty, -6]$ 段是根轨迹;

渐近线和实轴的夹角:

$$\rho = \frac{(2\lambda+1)\pi}{3}, \lambda = 0, \pm 1, \pm 2, \dots$$

$$\lambda = 0, \rho = \frac{\pi}{3}; \quad \lambda = 1, \rho = \pi; \quad \lambda = 2, \rho = \frac{5\pi}{3};$$

渐近线与实轴的交点为:

$$\sigma = \frac{(-1) + (-2) + (-5) + (-6) - (-3) - (-4)}{3} = -\frac{7}{3}.$$

计算根轨迹在实轴上的分离点.

$$P(s)Z'(s) - P'(s)Z(s) = -(3s^6 + 56s^5 + 419s^4 + 1582s^3 + 3064s^2 + 2688s + 720) = 0$$

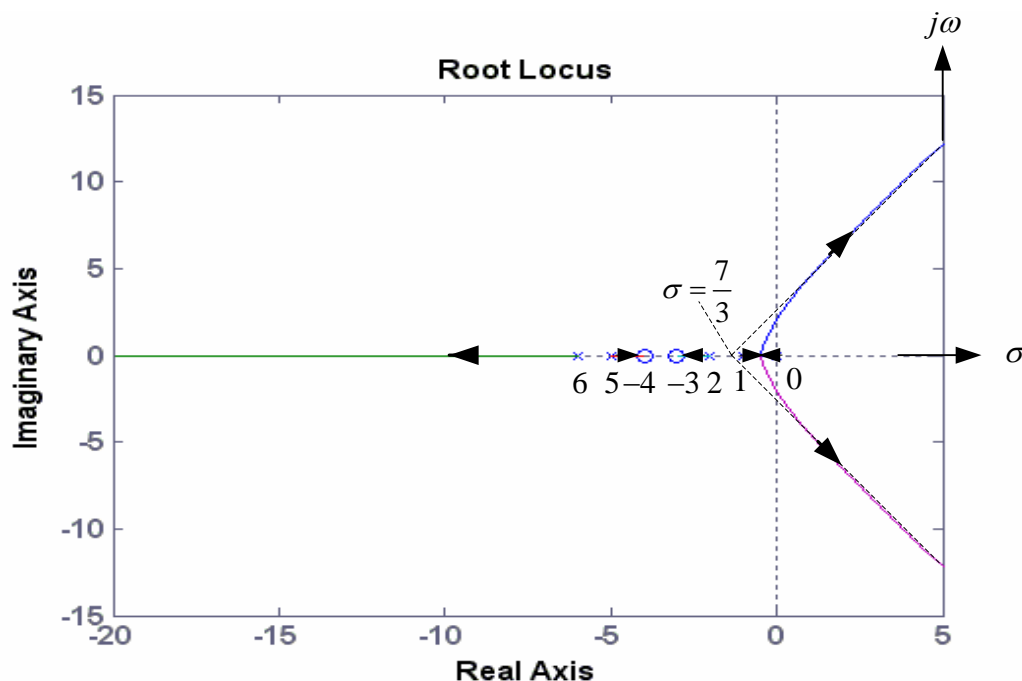
该方程的根为: $s_1=-0.4539, s_2=-1.6427, s_3=-3.4578, s_4=-5.4506, s_{5,6}=-3.8309 \pm 1.5508i$,

将以上方程的根代入式 $K_r = -\frac{P(s)}{Z(s)}$, 只有当 $s_1=-0.4539$ 时, K_r 取正值, 其它值时, K_r

取负值, 根轨迹的分离点为 $s_1=-0.4539$.

将 $s=j\omega$ 代入特征方程, 即 $1+G(j\omega)=0$, 解得根轨迹与虚轴的交点 $\omega_{1,2}=\pm 2.06$ 。

绘制根轨迹图形如下所示.



$$(5) \quad G(s) = \frac{K(0.5s+1)}{s^2(0.25s+1)(0.1s+1)}$$

解: 由题可知,根轨迹有 4 条分支。将时间常数形式的开环传递函数整理成零极点形式,

根轨迹的起点分别是 $p_{1,2}=0, p_3=-4, p_4=-10$. 开环零点为 $z_1=-2$.

实轴的 $[-4, -2]$ 段和 $(-\infty, -10]$ 段是根轨迹;

渐近线和实轴的夹角:

$$\rho = \frac{(2\lambda+1)\pi}{3}, \lambda = 0, \pm 1, \pm 2, \dots$$

$$\lambda = 0, \rho = \frac{\pi}{3}; \quad \lambda = 1, \rho = \pi; \quad \lambda = 2, \rho = \frac{5\pi}{3};$$

渐近线与实轴的交点为:

$$\sigma = \frac{(-4) + (-10) - (-2)}{3} = -4.$$

计算根轨迹在实轴上的分离点.

$$P(s)Z'(s) - P'(s)Z(s) = -(0.0375s^4 + 0.45s^3 + 1.55s^2 + 2s) = 0$$

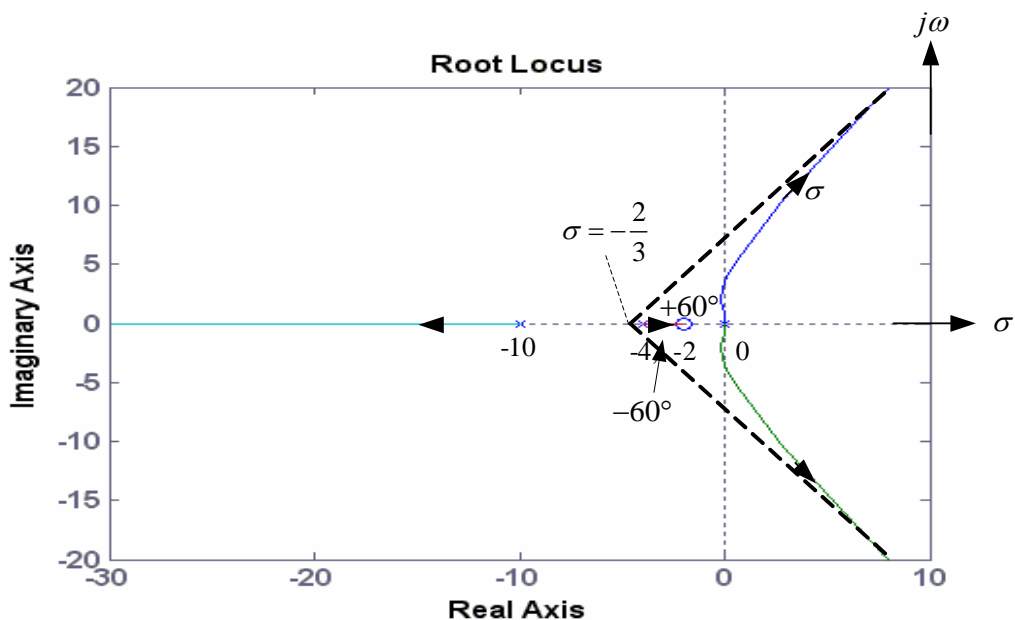
该方程的根为: $s_1=0, s_2=-7.3771, s_{3,4}=-2.3115 \pm 1.3736i$

将以上方程的根代入式 $K_r = -\frac{P(s)}{Z(s)}$, 只有 $s_1=0$ 时, $K_r=0$, 其它值时, K_r 取负值, 根轨

迹的分离点为 $s_1=0$.

将 $s=j\omega$ 代入特征方程, 即 $1+G(j\omega)=0$. 解得与虚轴的交点 $\omega_1=0, \omega_{2,3}=\pm 2\sqrt{3}$.

绘制根轨迹图形如下所示.



$$(6) \quad G(s) = \frac{K}{s^2(0.5s+1)}$$

解: 由题可知, 根轨迹有 3 条分支, 开环极点分别是 $p_{1,2}=0, p_3=-2$, 没有开环零点。

实轴的 $(-\infty, -2)$ 段是根轨迹;

渐近线和实轴的夹角:

$$\rho = \frac{(2\lambda+1)\pi}{3}, \lambda = 0, \pm 1, \pm 2, \dots$$

$$\lambda = 0, \rho = \frac{\pi}{3}; \quad \lambda = 1, \rho = \pi; \quad \lambda = 2, \rho = \frac{5\pi}{3};$$

渐近线与实轴的交点为:

$$\sigma = \frac{(-2)}{3} = -\frac{2}{3}.$$

计算根轨迹在实轴上的分离点.

$$P(s)Z'(s) - P'(s)Z(s) = -(1.5s^2 + 2s) = 0$$

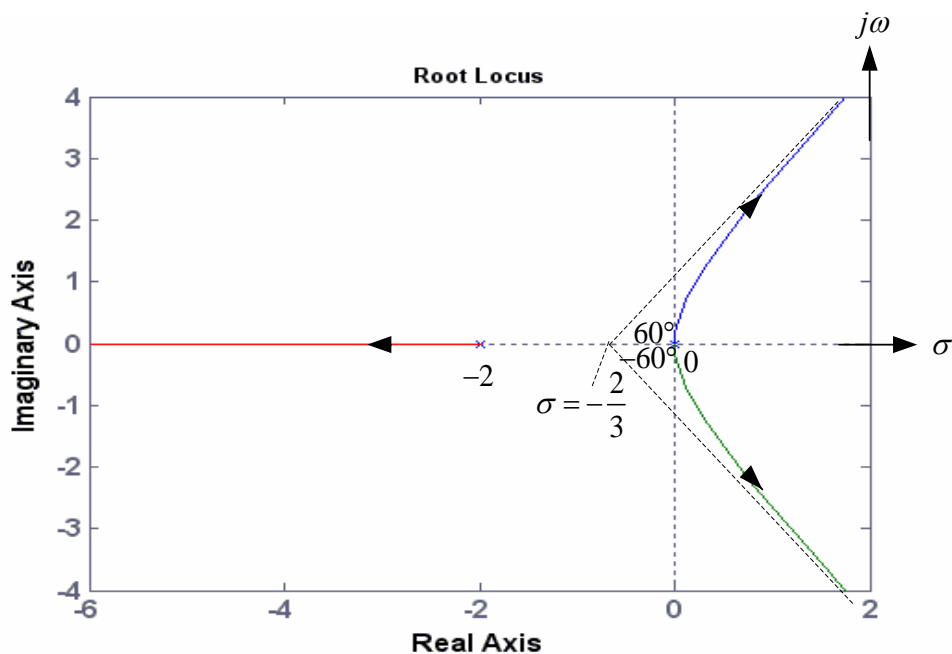
该方程的根为: $s_1=0, s_2=4/3$

将以上方程的根代入式 $K_r = -\frac{P(s)}{Z(s)}$, 只有 $s_1=0$ 时, $K_r=0, s_2=4/3$ 不在实轴根轨迹上,

$s_1=0$ 是根轨迹的分离点.

根轨迹与虚轴的交点在原点处。

绘制根轨迹图形如下所示.



$$(7) \quad G(s) = \frac{K(s+1)}{s^2(0.5s+1)}$$

解: 由题可知,根轨迹有 3 条分支,开环极点是 $p_{1,2}=0, p_3=-2$. 开环零点 $z_1=-1$

实轴的 $[-2, -1]$ 段是根轨迹;

渐近线和实轴的夹角:

$$\rho = \frac{(2\lambda + 1)\pi}{2}, \lambda = 0, \pm 1, \pm 2, \dots$$

$$\lambda = 0, \rho = \frac{\pi}{2}, \quad \lambda = 1, \rho = \frac{3\pi}{2};$$

渐近线与实轴的交点为:

$$\sigma = \frac{(-2) - (-1)}{2} = -0.5.$$

计算根轨迹在实轴上的分离点.

$$P(s)Z'(s) - P'(s)Z(s) = -(s^3 + 2.5s^2 + 2s) = 0$$

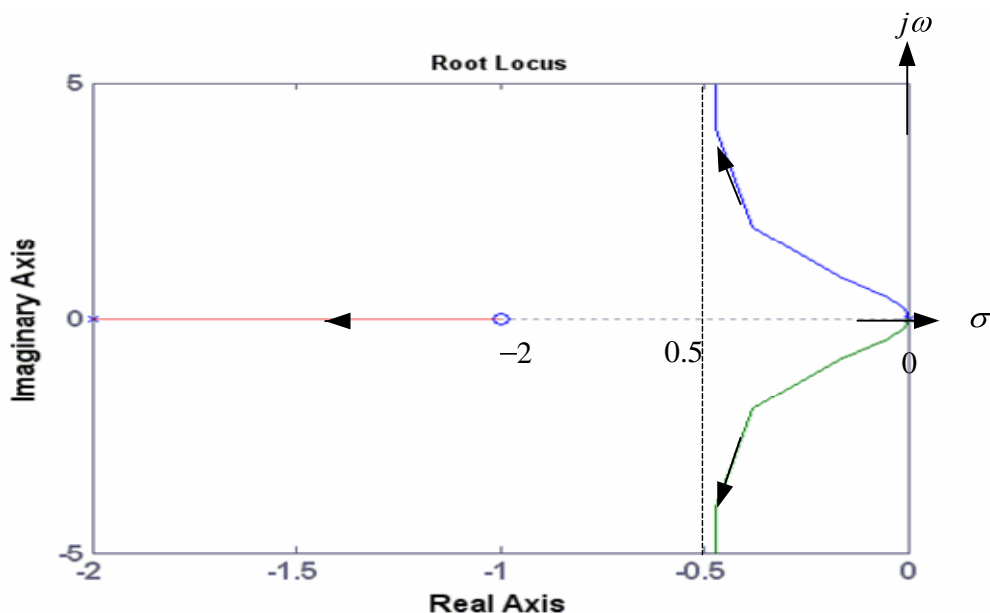
该方程的根为: $s_1=0$, $s_{2,3} = -1.2500 \pm 0.6614i$

将以上方程的根代入式 $K_r = -\frac{P(s)}{Z(s)}$, 只有 $s_1=0$ 时, $K_r=0$, 其它值时, K_r 取负值, 根轨

迹的分离点为 $s_1=0$.

根轨迹与虚轴的交点在原点处。

绘制根轨迹图形如下所示.



$$(8) G(s) = \frac{K}{s^2}$$

解: 由题可知,根轨迹有 2 条分支,根轨迹的开环极点是 $p_{1,2}=0$, 开环无零点.

实轴上没有根轨迹.

渐近线和实轴的夹角:

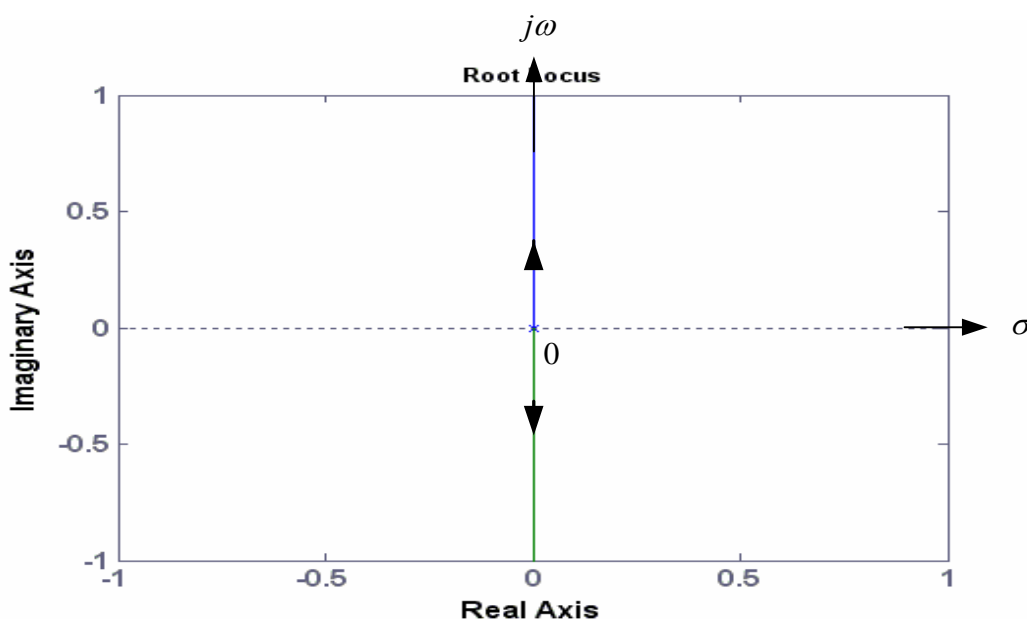
$$\rho = \frac{(2\lambda+1)\pi}{2}, \lambda = 0, \pm 1, \pm 2, \dots$$

$$\lambda = 0, \rho = \frac{\pi}{2}, \quad \lambda = 1, \rho = \frac{3\pi}{2};$$

渐近线与实轴的交点为:

$$\sigma = \frac{0+0}{2} = 0.$$

绘制根轨迹图形如下所示.



(9) $G(s) = \frac{K}{s^3}$

解: 由题可知,根轨迹有 3 条分支,开环极点为 $p_{1,2,3}=0$, 无开环零点.

实轴上的 $(-\infty, 0)$ 段是根轨迹, 并且实轴上没有分离点和会合点。

渐近线和实轴的夹角:

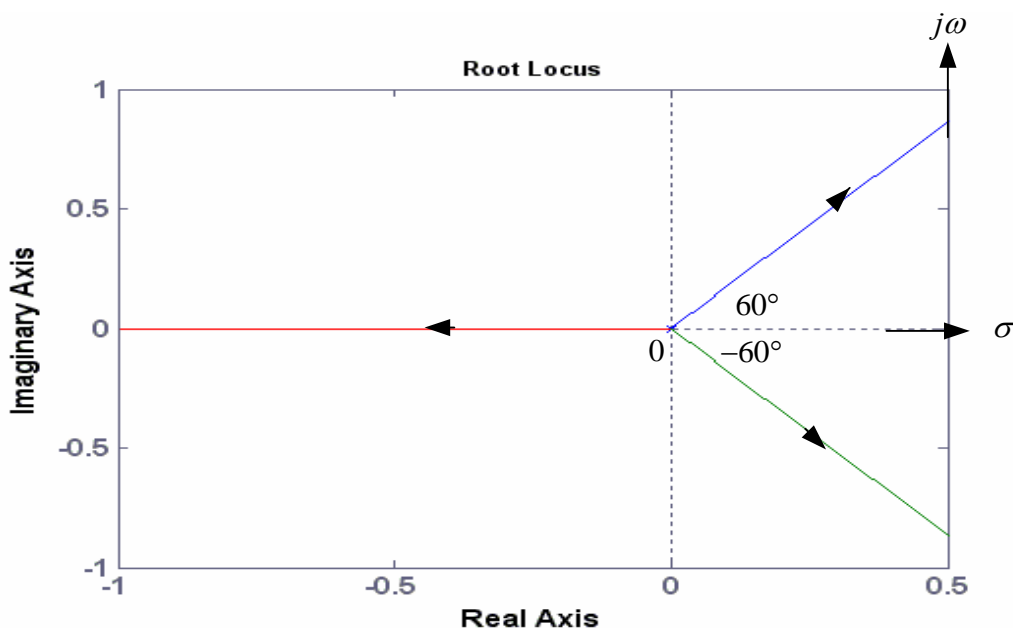
$$\rho = \frac{(2\lambda+1)\pi}{3}, \lambda = 0, \pm 1, \pm 2, \dots$$

$$\lambda = 0, \rho = \frac{\pi}{3}, \quad \lambda = 1, \rho = \pi; \quad \lambda = 2, \rho = \frac{5\pi}{3};$$

渐近线与实轴的交点为:

$$\sigma = \frac{0+0+0}{3} = 0.$$

绘制根轨迹图形如下所示.



A4-6 绘制下列开环传递函数的根轨迹

$$G(s)H(s) = \frac{K_r(s+1)(s+3)}{s^3}$$

并计算使系统稳定的 K_r 的取值范围, 以及系统在速度输入时的稳态误差 e_{ss} 。

解: 由题可知, 根轨迹有 3 条分支, 开环极点为 $p_{1,2,3}=0$, 开环零点为 $z_1=-1$.

实轴上的 $[-1, 0]$ 段和 $(-\infty, -3]$ 段是根轨迹;

渐近线和实轴的夹角:

$$\rho = \frac{(2\lambda+1)\pi}{3-2}, \lambda = 0, \pm 1, \pm 2, \dots$$

$\lambda = 0, \rho = \pi$; 即渐近线为实轴

计算根轨迹在实轴上的分离点.

$$P(s)Z'(s) - P'(s)Z(s) = -(s^4 + 8s^3 + 9s^2) = 0$$

该方程的根为: $s_{1,2}=0, s_3=-6.6458, s_4=-1.3542$

将以上方程的根代入式 $K_r = -\frac{P(s)}{Z(s)}$, $s_{1,2}=0$ 时, $K_r=0$, $s_3=-6.6458$ 时, $K_r=14.3$,

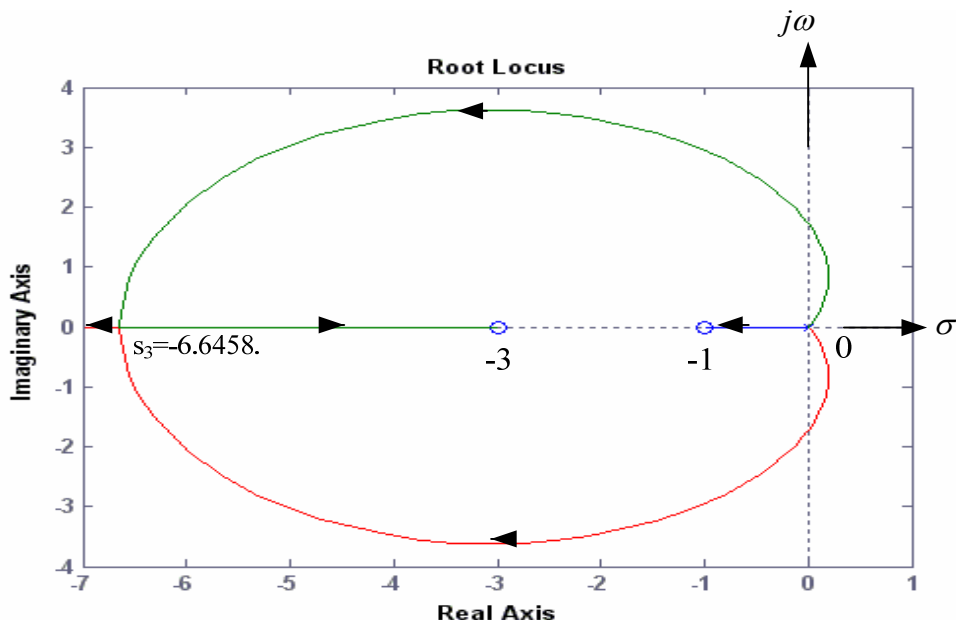
$s_4=-1.3542$ 不在根轨迹上, 根轨迹的分离点为 $s_1=0$, 会合点为 $s_3=-6.6458$.

求根轨迹与虚轴的交点。将 $s=j\omega$ 代入特征方程, 即

$$1 + G(j\omega)H(j\omega) = (j\omega)^3 + K_r(j\omega+1)(j\omega+3) = 0. \text{ 解得与虚轴的交点 } \omega_{1,2} = \pm\sqrt{3},$$

$\omega_3=0$, 对应 $\omega_{1,2}=\pm\sqrt{3}$ 时 $K_r=0.75$; 当 $\omega_3=0$ 时 $K_r=0$. 由根轨迹图可以看出, $K_r>0.75$ 时特征根全在左半平面, 系统稳定。

绘制根轨迹图形如下所示.



该系统为III型系统, 故速度输入时的稳态误差 $e_{ss}=0$ 。

A4-7 某单位反馈系统的开环传递函数为

$$G(s) = \frac{K_r(s^2 + 4s + 8)}{s^2(s + 4)}$$

用根轨迹法证明: 若系统期望主导极点的阻尼比 $\zeta = 0.5$, 则满足要求的 $K_r = 7.35$ 及主导极点为 $s = -1.3 \pm 2.2j$ 。

解: 先作出根轨迹图形.

该系统根轨迹有 3 条分支, 开环极点分别是 $p_{1,2}=0, p_3=-4$. 开环零点为 $z_{1,2}=-2 \pm 2i$

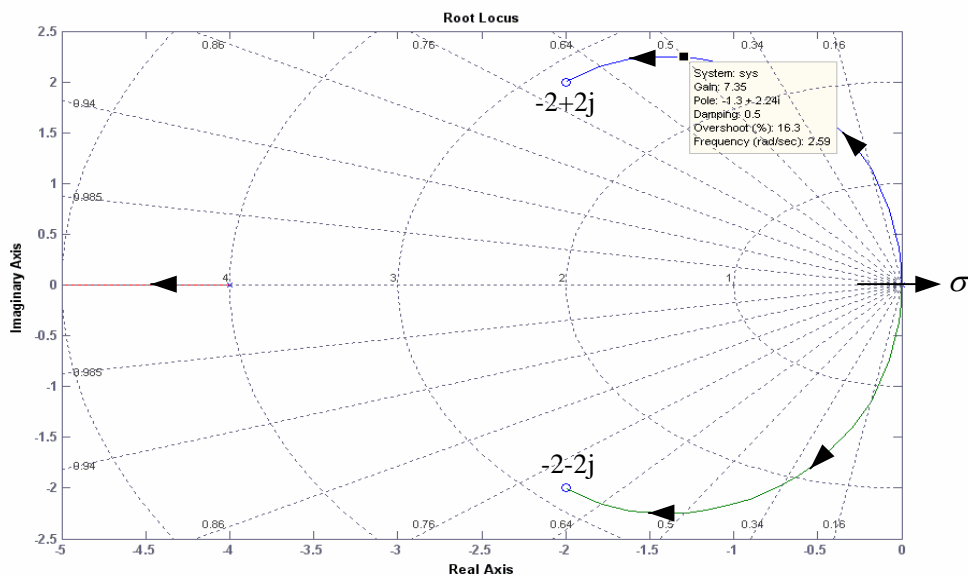
实轴上的 $(-\infty, -4]$ 是根轨迹;

渐近线为负实轴。

计算根轨迹在实轴上的分离点.

$$P(s)Z'(s) - P'(s)Z(s) = -(s^4 + 8s^3 + 40s^2 + 64s) = 0$$

求解上式的根, 得到 $s_1=0, s_2=-2.4136, s_{3,4}=-2.7932 \pm 4.3261j$. 显然根轨迹在实轴的分离点为 $s_1=0$, 由此绘制根轨迹图形如下所示. 并在根轨迹图形上绘制连续根轨迹的等 ζ 线.



从图中可以读出, $\zeta = 0.5$ 的直线与根轨迹相交于两点, 此两点即是满足阻尼比 $\zeta = 0.5$ 的主导极点: $-1.3 \pm 2.2j$ 。此时的根轨迹增益 $K_r = 7.35$ 。

A4-8: 单位反馈系统的开环传递函数为:

$$G(s) = \frac{K_r(s+1.5)}{(s+1)(s+2)(s+4)(s+8)}$$

- (1) 绘制根轨迹草图;
- (2) 求 K_r 等于 400, 500, 600 时闭环系统的特征根;
- (3) 若取其复极点为主导极点, 求上述三种 K_r 下, 阶跃响应的超调量;
- (4) 求准确的阶跃响应时的超调量, 与(3)的结果作比较。

解:

(1) 由题可知, 根轨迹有 4 条分支, 开环极点分别是 $p_1 = -1$, $p_2 = -2$, $p_3 = -4$, $p_4 = -8$ 。开环零点为 $z_1 = -1.5$

实轴的 $(-1.5, -1)$ 段、 $(-4, -2)$ 段和 $(-\infty, -8)$ 是根轨迹;

渐近线和实轴的夹角:

$$\rho = \frac{(2\lambda+1)\pi}{3}, \lambda = 0, \pm 1, \pm 2, \dots$$

$$\lambda = 0, \rho = \frac{\pi}{3}; \quad \lambda = 1, \rho = \pi; \quad \lambda = 2, \rho = \frac{5\pi}{3};$$

渐近线与实轴的交点为:

$$\sigma = \frac{(-1) + (-2) + (-4) + (-8) - (-1.5)}{3} = -4.5.$$

计算根轨迹在实轴上的分离点.

$$P(s)Z'(s) - P'(s)Z(s) = -(3s^4 + 36s^3 + 137.5s^2 + 210s + 116) = 0$$

该方程的根为: $s_1 = -2.8053$, $s_2 = -6.4001$, $s_{3,4} = -1.3973 \pm 0.4485i$

将以上方程的根代入式 $K_r = -\frac{P(s)}{Z(s)}$, $s_1 = -2.8053$ 时, $K_r = 6.94$, 在 $s_2 = -6.4001$, $s_{3,4} =$

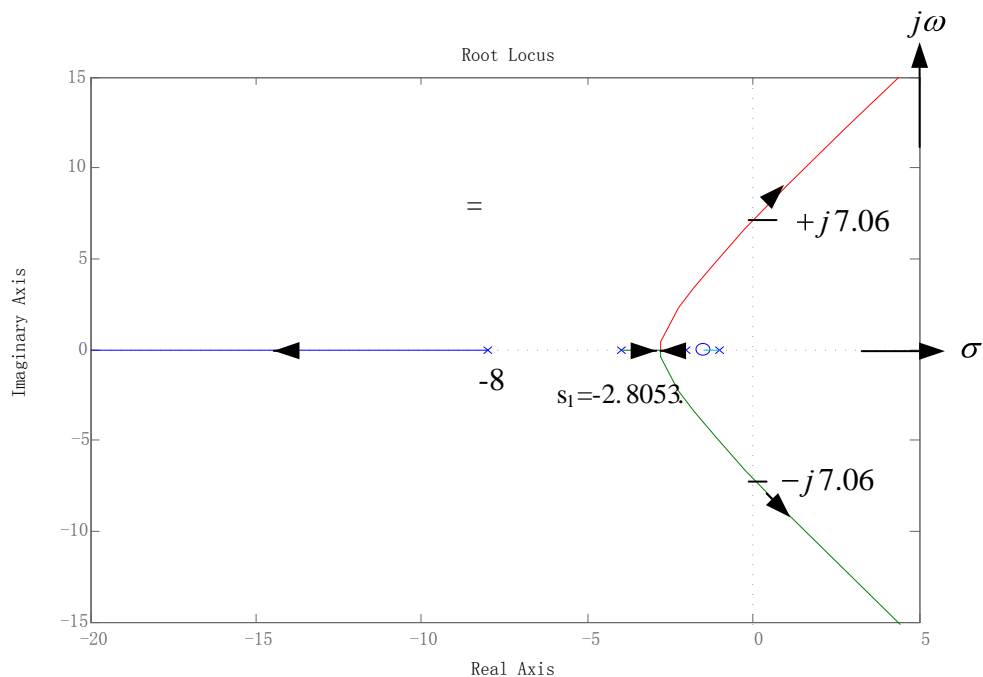
$-1.3973 \pm 0.4485i$ 处, K_r 取负值, 故根轨迹的分离点为 $s_1 = -2.8053$.

计算根轨迹与虚轴的交点。将 $s = j\omega$ 带入特征方程, 即

$$1 + G(j\omega)H(j\omega) = (j\omega)^4 + 15(j\omega)^3 + 70(j\omega)^2 + (120 + K_r)j\omega + (64 + 1.5K_r) = 0.$$

解得与虚轴的交点 $\omega = \pm 7.06$, 此时 $K_r = 627.7$ 。

绘制根轨迹图形如下所示.



(2) $K_r = 400$ 时闭环系统特征方程为:

$$s^4 + 15s^3 + 70s^2 + 520s + 664 = 0$$

特征根为: -12.3885 , -1.4898 , $-0.5608 \pm 5.9718i$

$K_r = 500$ 时闭环系统特征方程为

$$s^4 + 15s^3 + 70s^2 + 620s + 814 = 0$$

特征根为: -12.9189 , -1.4918 , $-0.2946 \pm 6.4922i$

$K_r = 600$ 时闭环系统特征方程为:

$$s^4 + 15s^3 + 70s^2 + 720s + 964 = 0$$

特征根为: -13.3868, -1.4932, $-0.0600 \pm 6.9442i$

(3) 以复极点为主导极点,

当 $K_r=400$ 时, 主导极点为 $-0.5608 \pm 5.9718i$, 则

$$\tan \theta = \frac{5.9718}{0.5608} = 10.6487, \quad \zeta = \cos \theta = 0.0935$$

此时的超调量为 $M_p = e^{-\pi\zeta/\sqrt{1-\zeta^2}} \times 100\% = 74.5\%$

当 $K_r=500$ 时, 主导极点为 $-0.2946 \pm 6.4922i$,

$$\tan \theta = \frac{6.4922}{0.2946} = 22.0373, \quad \zeta = \cos \theta = 0.0453$$

此时的超调量为 $M_p = e^{-\pi\zeta/\sqrt{1-\zeta^2}} \times 100\% = 86.7\%$

当 $K_r=600$ 时, 主导极点为 $-0.0600 \pm 6.9442i$,

$$\tan \theta = \frac{6.9442}{0.0600} = 115.7367, \quad \zeta = \cos \theta = 0.0086$$

此时超调量为 $M_p = e^{-\pi\zeta/\sqrt{1-\zeta^2}} \times 100\% = 97.32\%$

(4) 求出系统阶跃响应的准确解, 进一步求出超调量:

$K_r=400$ 时, 超调量为 50%

$K_r=500$ 时, 超调量为 63%

$K_r=600$ 时, 超调量为 73%

由此可以看出, 用主导极点求出的计算结果和实际系统的精确结果还是有差别的, 这种差别一般在工程上是允许的。

B4-1: 设单位反馈系统的开环传递函数为

$$G(s) = \frac{K_r}{s(s-1)}$$

(1) 求使闭环系统稳定的 K_r 取值范围;

(2) 在前向通道串联一控制器 $G_c(s)$, 其传递函数为:

$$G_c(s) = \frac{(s+2)}{s(s+p)}$$

若 $p=20$, 再求系统稳定的 K_r 取值范围;

(3) 设 $K_r = 10$ ，绘制 p 自 0 变到 ∞ ，系统的根轨迹图；

(4) 讨论 $G_c(s)$ 的零、极点的位置对系统性能的影响。

解：

(1) 该闭环系统的特征方程为 $s^2 - s + K_r = 0$ ，由劳斯判据稳定性的必要条件知道，无论 K_r 取何值，系统始终不稳定。

(2) 系统串联控制器 $G_c(s)$ 后，闭环系统的特征方程为 $s^4 + 19s^3 - 20s^2 + K_r s + 2K_r = 0$

由劳斯判据稳定性的必要条件知道，无论 K_r 取何值，系统始终不稳定。

(3) 当 $K_r = 10$ 时，串联控制器后系统的开环传递函数为 $G(s)G_c(s) = \frac{10(s+2)}{s^2(s-1)(s+p)}$

闭环特征方程式： $s^4 + (p-1)s^3 - ps^2 + 10s + 20 = 0$

整理上式可得： $\frac{p(s^3 - s^2)}{s^4 - s^3 + 10s + 20} + 1 = 0$

所以等效系统的开环传递函数为 $\frac{p(s^3 - s^2)}{s^4 - s^3 + 10s + 20}$

该系统的根轨迹有 4 条分支，系统的开环极点是 $p_{1,2} = 1.8581 \pm 1.9834i$ ， $p_{3,4} = 1.3581 \pm 0.9291i$ 。开环零点是 $z_{1,2} = 0$ ， $z_3 = 1$ 。

实轴的 $(-\infty, 1)$ 是根轨迹；

渐近线为负实轴

计算根轨迹在实轴上的分离点。

$$P(s)Z'(s) - P'(s)Z(s) = -(s^6 - 2s^5 + s^4 - 20s^3 - 50s^2 + 40s) = 0$$

该方程的根为： $s_1 = 0$ ， $s_2 = -1.9317$ ， $s_3 = 0.6379$ ， $s_4 = 3.8190$ ， $s_{5,6} = -0.2626 \pm 2.9036i$ ，将以

上方程的根代入式 $K_r = -\frac{P(s)}{Z(s)}$ ，当 $s_2 = -1.9317$ ， $s_3 = 0.6379$ 时， K_r 取正值，取其它值

时， K_r 为负值，根轨迹的会合点为 $s_2 = -1.9317$ ， $s_3 = 0.6379$ 。

求复数开环极点 $1.8581 + 1.9834i$ 的出射角：

$$\begin{aligned}\theta_{p1} &= (2k+1)\pi + \angle(p_1 - z_1) + \angle(p_1 - z_2) + \angle(p_1 - z_3) - \angle(p_1 - p_2) - \angle(p_1 - p_3) - \angle(p_1 - p_4) \\ &= (2k+1)\pi + 46.87^\circ + 46.87^\circ + 66.60^\circ - 90^\circ - 18.15^\circ - 42.16^\circ \\ &= 190.03^\circ\end{aligned}$$

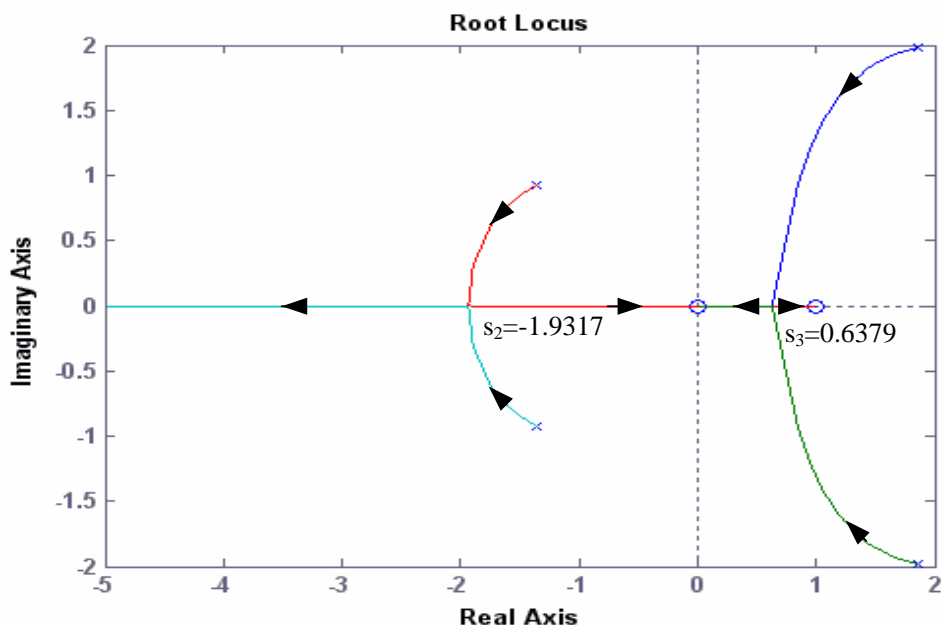
故在开环极点 $1.8581 - 1.9834i$ 的出射角为 -190.03°

复数开环极点 $-1.3581 + 0.9291i$ 的出射角

$$\begin{aligned}\theta_{p_3} &= (2k+1)\pi + \angle(p_3 - z_1) + \angle(p_3 - z_2) + \angle(p_3 - z_3) - \angle(p_3 - p_1) - \angle(p_3 - p_2) - \angle(p_3 - p_4) \\ &= (2k+1)\pi + 145.62^\circ + 145.62^\circ + 158.50^\circ - (-161.85^\circ) - 137.84^\circ - 90^\circ \\ &= 203.75^\circ\end{aligned}$$

故为实开环极点 $-1.3581 - 0.9291i$ 的出射角 -203.75°

根轨迹图如下。



- (4) 当极点向右移动相当于某些惯性环节的时间常数减小，响应速度加快，稳定性变差。
零点向右移动相当于某些惯性或振荡环节时间常数增大，响应速度减慢，稳定性增强。

B4-2: 对于如图 B4-1 所示的系统:

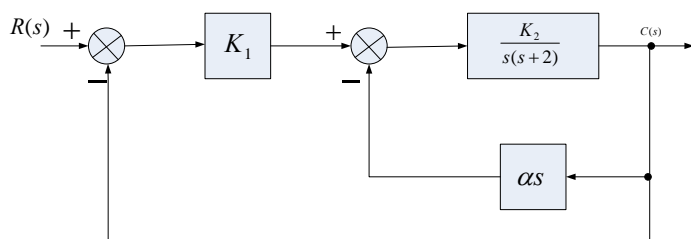


图 B4-1 题 B4-2 系统

- (1) 绘制 $\alpha = 0$ 时之根轨迹图;
- (2) 绘制 $K_1 = 5, K_2 = 2$ 时, $0 \leq \alpha \leq \infty$ 的根轨迹;

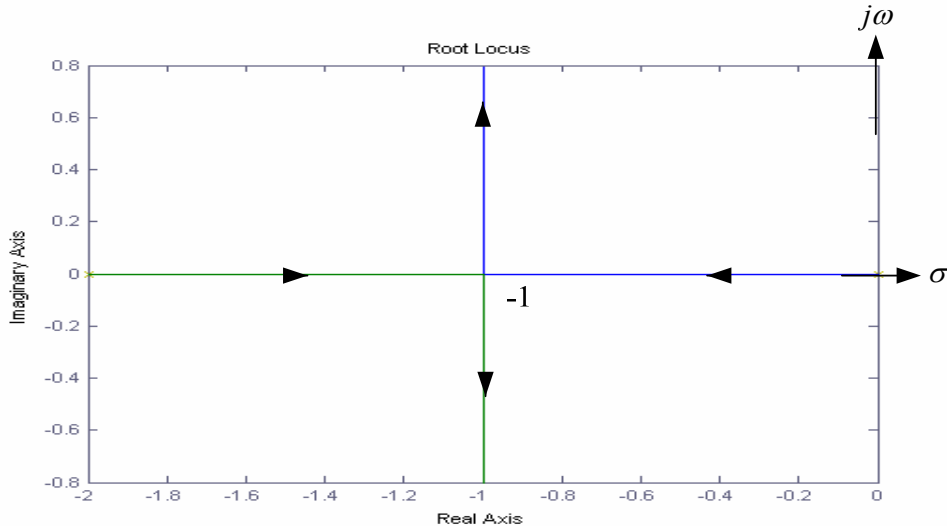
(3) 求(2)题的临界阻尼时的 α 值;

(4) 讨论局部反馈 αs 对系统性能的影响。

解:

(1) $\alpha = 0$ 时, 开环传递函数为:

$$G = \frac{K_1 K_2}{s(s+2)} = \frac{K_r}{s(s+2)}, \text{ 绘制根轨迹图如下.}$$



(2) $K_1 = 5, K_2 = 2$ 时, 系统的开环传递函数为: $\frac{10}{s^2 + (2\alpha + 2)s}$

$$\text{闭环特征方程: } s^2 + (2\alpha + 2)s + 10 = 0, \quad \frac{2\alpha s}{s^2 + 2s + 10} + 1 = 0$$

$$\text{所以等效开环传递函数为: } \frac{2\alpha s}{s^2 + 2s + 10}$$

等效系统的根轨迹有 2 条分支, 开环极点分别是 $p_{1,2} = -1 \pm 3i$. 开环零点 $z_1 = 0$.

负实轴是根轨迹;

渐近线是负实轴。

计算根轨迹在实轴上的汇合点.

$$P(s)Z'(s) - P'(s)Z(s) = -2s^2 + 20s = 0$$

该方程的根为: $s_{1,2} = \pm \sqrt{10}$. 将方程的根代入式 $K_r = -\frac{P(s)}{Z(s)}$, 当 $s_1 = -3.16$ 时, K_r 取正值,

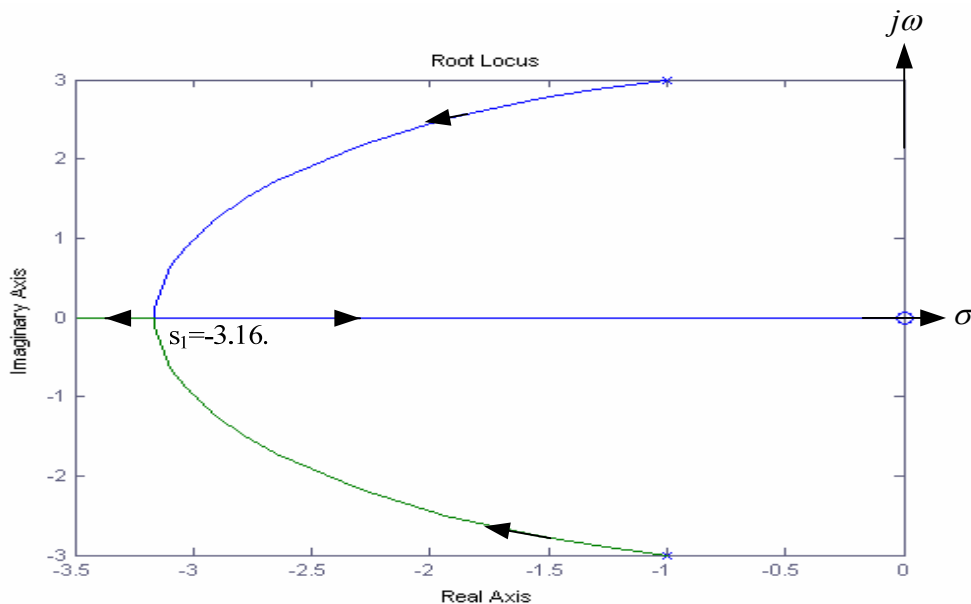
$s_2 = 3.16$ 不在根轨迹上, 根轨迹的会合点为 $s_1 = -3.16$.

求复数开环极点 $p_1 = -1 + 3i$ 的出射角:

$$\begin{aligned}
 \theta_{p1} &= (2k+1)\pi + \angle(p_1 - z_1) - \angle(p_1 - p_2) \\
 &= (2k+1)\pi + 108.43^\circ - 90^\circ \\
 &= 198.43^\circ \quad (k=0)
 \end{aligned}$$

类似地, 开环极点 $p_1 = -1 - 3i$ 的出射角为 -198.43° 。

当 $0 \leq \alpha < \infty$ 时, 根轨迹图为:



(3) 临界稳定时, 闭环系统的特征根在虚轴上, 由根轨迹可见, $s=0$ 时临界稳定, 此时 $\alpha = \infty$ 。

(4) 局部反馈能使根轨迹向左移动, 改善了系统的稳定性。

B4-3: 已知系统如图 B4-2 所示。

(1) 当 $a=2$ 时, 作 K_r 从 $0 \rightarrow \infty$ 的根轨迹, 并确定系统无超调时的 K_r 取值范围及系统临界稳定时的 K_r 值;

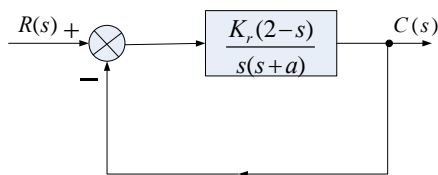


图 B4-2 题 B4-3 系统

(2) 当 $K_r = 2$ 时, 作 a 从 $0 \rightarrow \infty$ 的根轨迹, 并确定系统阻尼比 $\zeta = 0.707$ 时的 a 值。

解:

(1) 该系统的根轨迹有 2 条分支, 开环极点分别是 $p_1=0, p_2=-2$. 开环零点 $z_1=2$.

此时由于开环传递函数分子多项式最高项系数为负, 这是一个补根轨迹问题。所以实轴上的根轨迹, 其右边实轴上的零点和极点之和为偶数, 实轴的 $[-2, 0]$ 段和 $[2, +\infty)$ 段是根轨迹;

计算根轨迹在实轴上的分离点和汇合点。

$$P(s)Z'(s) - P'(s)Z(s) = s^2 - 4s - 4 = 0$$

该方程的根为: $s_1 = -0.8284$, $s_2 = 4.8284$,

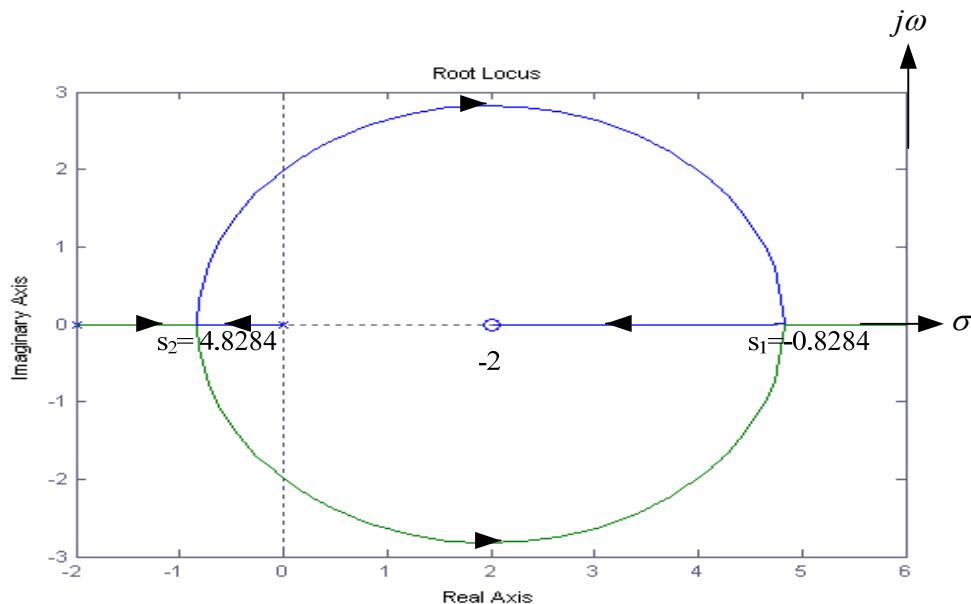
将以上方程的根代入式 $K_r = -\frac{P(s)}{Z(s)}$, 当 $s_1 = -0.8284$ 时, $K_r = 0.343$, $s_2 = 4.8284$,

时, $K_r = 11.66$, 根轨迹的分离点为 $s_1 = -0.8284$, 会合点为 $s_2 = 4.8284$.

求根轨迹与虚轴的交点。将 $s = j\omega$ 代入特征方程, 即

$$1 + G(j\omega) = 0. \text{ 解得与虚轴的交点 } \omega_{1,2} = \pm 2, \text{ 此时 } K_r = 2$$

绘制根轨迹图形如下所示.



当系统的特征值为实数时, 输出响应无振荡, 此时无超调; 特征值位于右半平面时, 输出响应无界。综上, 无超调时, K_r 的取值范围是 $(0, 0.343]$, 系统临界稳定时, $K_r = 2$ 。

(2) $K_r = 2$ 时, 系统特征方程为: $s^2 + as + 4 - 2s = 0$ 。

$$\text{等效开环传递函数为: } \frac{as}{s^2 - 2s + 4},$$

该系统中根轨迹有 2 条分支, 开环极点分别是 $p_{1,2} = 1 \pm 1.732i$. 开环零点 $z_1 = 0$.

实轴上的 $(-\infty, 0]$ 段是根轨迹.

渐近线为负实轴.

计算根轨迹在实轴上的会合点.

$$P(s)Z'(s) - P'(s)Z(s) = -s^2 + 4 = 0$$

该方程的根为: $s_1=2, s_2=-2$

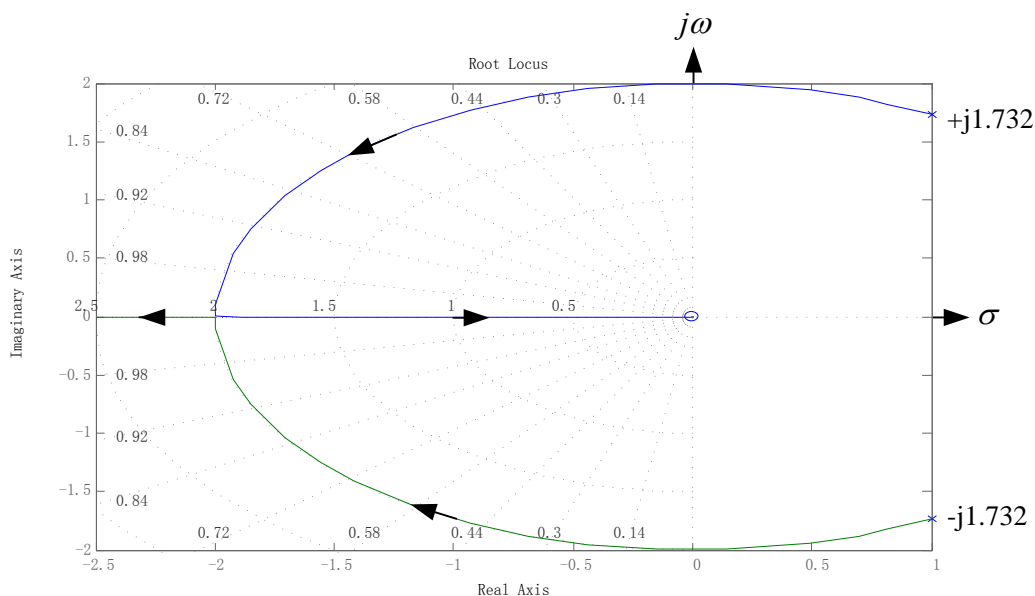
将以上方程的根代入式 $K_r = -\frac{P(s)}{Z(s)}$, $s_1=2$ 时, $K_r=6$, $s_2=2$ 不在根轨迹上, 根轨迹会合

点为 $s_1 = -2$

求根轨迹与虚轴的交点。将 $s=j\omega$ 代入特征方程, 即

$$1+G(j\omega)=0. \text{ 解得与虚轴的交点 } \omega_{1,2}=\pm 2, \omega_3=0$$

绘制根轨迹图形如下所示.



从图中作出等 ζ 曲线, 与根轨迹相交的点就是所求点。此时的 $\alpha=4.82$ 。

B4-4 设单位反馈系统的开环传递函数为

$$G(s) = \frac{Ke^{-sT}}{s+1}$$

(1) 证明: e^{-sT} 的近似表达式为

$$e^{-sT} \cong \frac{\frac{2}{T} - s}{\frac{2}{T} + s}$$

(2) 设 $T = 0.1s$, 则

$$e^{-0.1s} \cong \frac{20-s}{20+s}$$

$$G(s) \cong \frac{K(20-s)}{(s+1)(s+20)}$$

绘制 K 从 $0 \rightarrow \infty$ 的根轨迹, 并确定使系统稳定的 K 值范围。

解:

$$(1) \quad \text{证明: } e^{-Ts} = \frac{e^{-\frac{T}{2}s}}{e^{\frac{T}{2}s}}$$

分子和分母分别做级数展开, 得

$$e^{-Ts} = \frac{e^{-\frac{T}{2}s}}{e^{\frac{T}{2}s}} = \frac{1 - \frac{T}{2}s + \frac{1}{2!}(\frac{T}{2}s)^2 - \frac{1}{3!}(\frac{T}{2}s)^3 + \dots}{1 + \frac{T}{2}s + \frac{1}{2!}(\frac{T}{2}s)^2 + \frac{1}{3!}(\frac{T}{2}s)^3 + \dots}$$

取上式的一次近似, 得

$$e^{-Ts} \approx \frac{1 - \frac{T}{2}s}{1 + \frac{T}{2}s} = \frac{\frac{2}{T} - s}{\frac{2}{T} + s}$$

证毕。

(2) 该系统的根轨迹有 2 条分支, 开环极点分别是 $p_1 = -1, p_2 = -20$. 开环零点 $z_1 = 20$.

此时, 由于开环传递函数分子多项式最高项系数为负, 这是一个补根轨迹问题。所以实轴上的根轨迹, 其右边实轴上的零点和极点之和为偶数, 实轴的 $[-20, -1]$ 段和 $[20, +\infty)$ 段是根轨迹。

渐近线为正实轴。

计算根轨迹在实轴上的分离点和会合点。

$$P(s)Z'(s) - P'(s)Z(s) = s^2 - 40s - 440 = 0$$

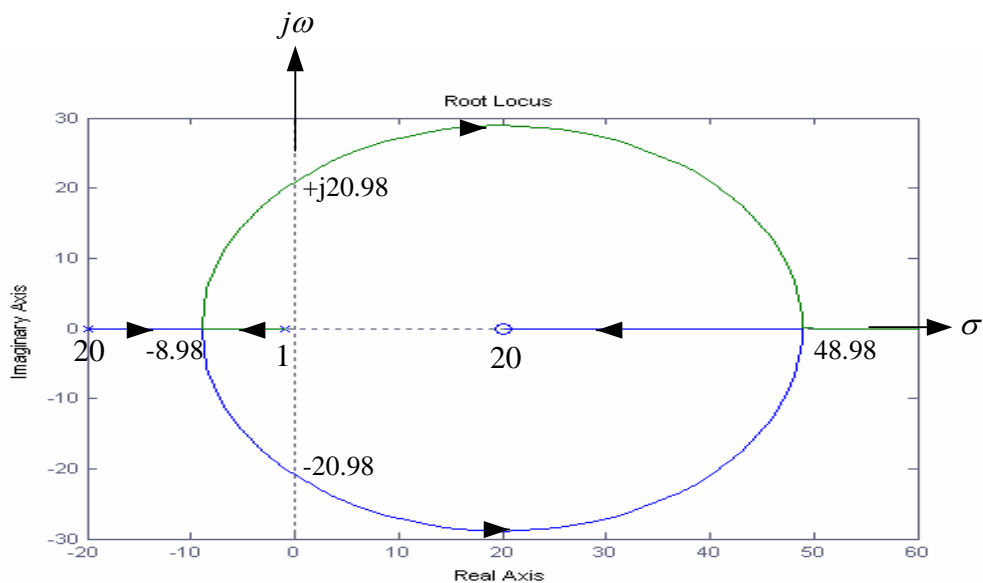
该方程的根为: $s_1 = -8.98, s_2 = 48.98$, 将以上方程的根代入式 $K_r = -\frac{P(s)}{Z(s)}$, K_r 都为正

值, 根轨迹的分离点为 $s_1 = -8.98$, 会合点为 $s_2 = 48.98$ 。

求根轨迹与虚轴的交点。将 $s = j\omega$ 代入特征方程, 即

$$1 + G(j\omega) = 0. \quad \text{解得与虚轴的交点 } \omega_{1,2} = \pm 20.98, \text{ 此时 } K_r = 21$$

绘制根轨迹图形如下所示。



从根轨迹图可以得到, 当 $0 < K_r < 21$ 时, 系统稳定

B4-5 某单位反馈系统的开环传递函数为:

$$G(s) = \frac{K_r(s+1)}{s(s-3)}$$

- (1) 绘制 K_r 自 $0 \rightarrow \infty$ 的根轨迹, 并由根轨迹求使系统稳定的 K_r 值范围;
- (2) 设 $K_r = 5$, 按主导极点计算系统单位阶跃响应的超调量和按 2% 准则的调整时间;
- (3) 由系统实际的单位阶跃响应求超调量和调整时间, 并与(2)的结果进行比较, 说明原因。

解: (1) 该系统中根轨迹有 2 条分支, 开环极点分别是 $p_1=0, p_2=3$. 开环零点 $z_1=-1$.

实轴上的 $[0, 3]$ 段和 $(-\infty, -1]$ 段是根轨迹.

渐近线为负实轴.

计算根轨迹在实轴上的分离点.

$$P(s)Z'(s) - P'(s)Z(s) = -s^2 - 2s + 3 = 0$$

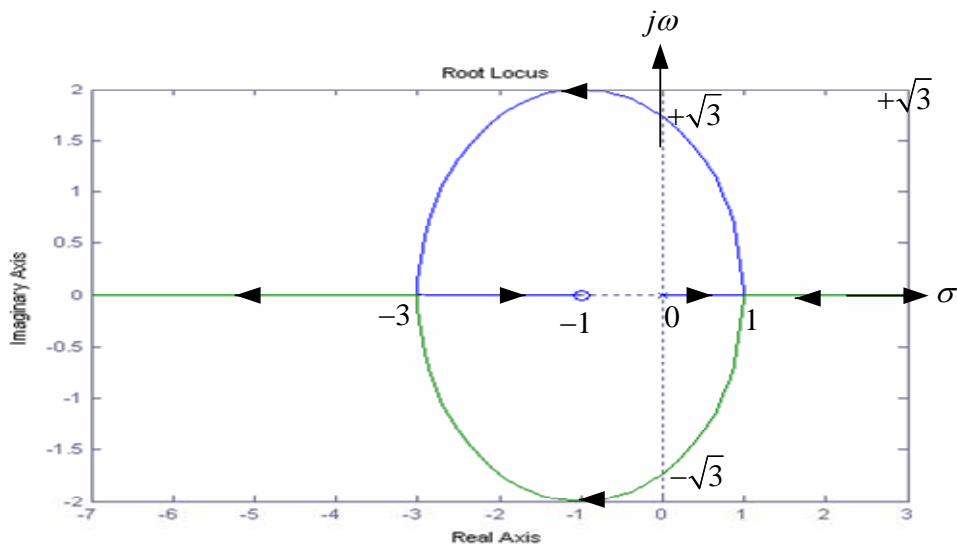
该方程的根为: $s_1=1, s_2=-3$, 将以上方程的根代入式 $K_r = -\frac{P(s)}{Z(s)}$, K_r 都为正值, 所以

根轨迹的分离点为 $s_1=1$, 会合点为 $s_2=-3$.

求根轨迹与虚轴的交点. 将 $s=j\omega$ 代入特征方程, 即

$$1+G(j\omega)=0. \text{ 解得与虚轴的交点 } \omega_0=0, \omega_{2,3}=\pm\sqrt{3}, \text{ 此时 } K_r \text{ 分别为 } 0 \text{ 和 } 3$$

绘制根轨迹图形如下所示.



从根轨迹图可以得出, 当 $K_r > 3$ 时, 特征根都在左半平面, 系统稳定.

(2) $K_r = 5$ 时, 系统的特征方程为:

$$s^2 + 2s + 5 = 0$$

主导极点为 $-1 \pm 2i$, $\omega_n = \sqrt{(-1)^2 + 2^2} = \sqrt{5}$, $\zeta\omega_n = 1$, 所以 $\zeta = \frac{1}{\sqrt{5}}$ 使用公式求出超调量

$$M_p = e^{-\pi\zeta/\sqrt{1-\zeta^2}} \times 100\% = 20.8\%, \text{ 调整时间 } t = 4s (\Delta = 2\%).$$

(3) 系统实际的阶跃响应超调量为 90.7%, 调整时间为 4.5s。因为该系统中实零点与复极点的实部数值相当, 对系统动态响应有较大影响。高阶系统没有零点, 且距离虚轴最近的极点比其他极点距虚轴的距离小 5 倍以上时, 采用主导极点比较准确。

C4-1: 在控制系统设计中, 常用校正装置来改善系统的性能。串联校正装置有三种类型: 超前校正装置、滞后校正装置和超前—滞后校正装置。它们是用 RC 网络或由运算放大器和电阻电容组成的电子电路构成。通常是在前向通道中与控制对象串连, 如图 C4-1 所示。

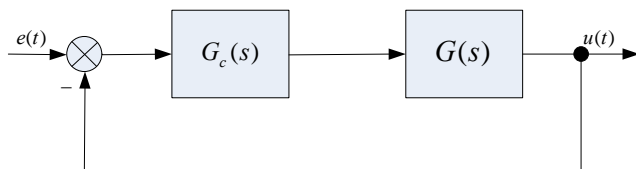


图 C4-1 串联校正装置在系统中的连接

超前校正装置的传递函数为:

$$G_c(s) = K_c \cdot \frac{\alpha Ts + 1}{Ts + 1} \quad (\text{C4-1})$$

式中, $\alpha > 1$ 。超前校正可以提高系统的动态性能。

现有单位反馈系统, 其开环传递函数为:

$$G(s) = \frac{K_r}{s(s+10)(s+25)}$$

(1) 绘制系统的根轨迹图。若原闭环系统的超调量 $M_p = 60\%$ ，求原系统主导极点的阻尼比 ζ 和无阻尼振荡角频率 ω_n ，以及根轨迹增益 K_r 和在单位速度输入 $r(t) = tu(t)$ 时，系统的稳态误差 e_{ss} ；

(2) 引入超前校正装置

$$G_c(s) = \frac{(s+3)}{(s+3.93)}$$

求：引入超前校正装置后系统的特征根；

若以一对复根为主导极点，求其阻尼比 ζ 和无阻尼振荡角频率 ω_n 及超调量 M_p 和按 2% 误差准则的调整时间 t_s ；

(3) 求系统准确的单位阶跃响应，将实际的超调量 M_p 和按 2% 误差准则的调整时间 t_s 与前面计算结果进行比较，并说明二者存在差别的原因。

解：

(1) 由题可知，根轨迹有 3 条分支，开环极点分别是 $p_1=0, p_2=-10, p_3=-25$ 。开环无零点。实轴上的 $[-10, 0]$ 段和 $(-\infty, -25]$ 段是根轨迹。

渐近线和实轴的夹角：

$$\rho = \frac{(2\lambda+1)\pi}{3}, \lambda = 0, \pm 1, \pm 2, \dots$$

$$\lambda = 0, \rho = \frac{\pi}{3}; \quad \lambda = 1, \rho = \pi; \quad \lambda = 2, \rho = \frac{5\pi}{3};$$

渐近线与实轴的交点为：

$$\sigma = \frac{(-10) + (-25)}{3} = -\frac{35}{3}.$$

计算根轨迹在实轴上的分离点。

$$P(s)Z'(s) - P'(s)Z(s) = -(3s^2 + 70s + 250) = 0$$

该方程的根为： $s_1 = -4.4018, s_2 = -18.9315$ ，将以上方程的根代入式 $K_r = -\frac{P(s)}{Z(s)}$ ，只有

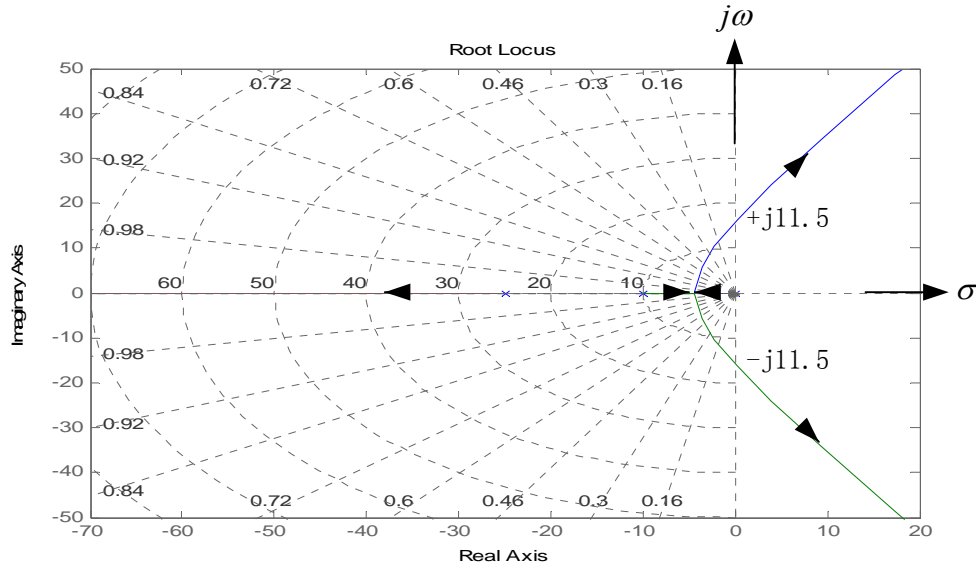
$s_1 = -4.4018$ 时， K_r 为正值， $s_2 = -18.9315$ 不在根轨迹上，因此根轨迹的分离点为

$s_1 = -4.4018$ 。

求根轨迹与虚轴的交点。将 $s = j\omega$ 代入特征方程，即

$$1 + G(j\omega) = 0. \text{ 解得与虚轴的交点 } \omega_1 = 0, \omega_{2,3} = \pm\sqrt{250} = \pm 15.81.$$

绘制根轨迹图形如下所示。



$M_p = 60\%$ 时, 由 $M_p = e^{-\zeta\pi/\sqrt{1-\zeta^2}} * 100\%$ 求得 $\zeta = 0.161$, 在根轨迹上可得出主导极点为 $-1.85 \pm j11.3i$, 即 $\zeta\omega_n = 1.85, \omega_n\sqrt{1-\zeta^2} = 11.3$, 可求 $\omega_n = 11.5$, 经幅值条件计算, 根轨迹增益 $K_r = 4108.7$ 或从根轨迹图读取根轨迹增益 $K_r = 4140$, 此时开环增益为

$$K = \frac{K_r \prod_{i=1}^m z_i}{\prod_{j=1}^n p_j} = \frac{4140}{10 \times 25} = 16.56$$

该系统为 I 型系统, 单位速度输入下, $e_{ss} = 1/K = 0.0603$.

$$(2) \text{ 引入超前校正后, 系统的开环传递函数为: } G(s)G_c(s) = \frac{K_r}{s(s+10)(s+25)} \cdot \frac{(s+3)}{(s+3.93)}$$

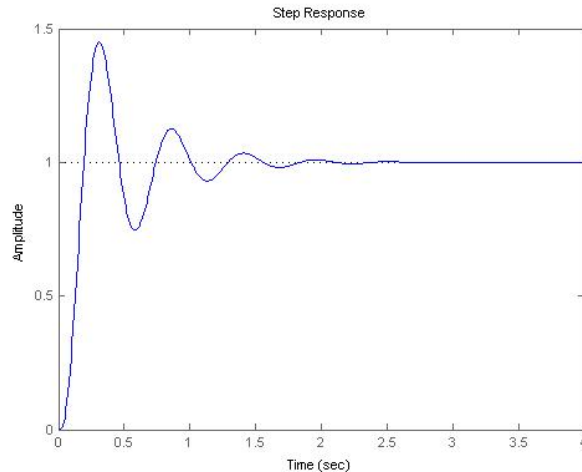
当 $K_r = 4108.7$ 时, 系统的特征多项式为: $s^4 + 39s^3 + 388s^2 + 5122s + 12420 = 0$

系统特征根为: $s_{1,2} = -2.3488 \pm j11.4368i$, $s_3 = -31.3479$, $s_4 = -2.8845$.

若以复根 $s_{1,2} = -2.3488 \pm j11.4368i$ 为主导极点, 则 $\omega_n = 11.7$, $\zeta = 0.2$, 超调量

$$M_p = e^{-\pi\zeta/\sqrt{1-\zeta^2}} \times 100\% = 52.7\%, \quad 2\% \text{ 误差准则的调整时间 } t_s = \frac{4}{\zeta\omega_n} = 1.7s$$

(3) 系统准确的单位阶跃响应如图:



实际超调量为 45%，调整时间为 1.5s。可见用主导极点计算的结果和实际的结果有一定差别，因为有另一个极点 $s_4 = -2.8845$ 对系统的影响也很大，所以用主导极点计算会有偏差。

C4-2 为提高系统的控制精度（稳态性能），可采用滞后校正装置，其传递函数为

$$G_c(s) = K_c \cdot \frac{Ts + 1}{\beta Ts + 1}$$

式中， $\beta > 1$ 。考虑单位反馈系统

$$G(s) = \frac{1}{s^2 + 5s + 6}$$

(1) 绘制系统的根轨迹图，并求闭环系统的极点、阻尼比 ζ 和无阻尼振荡角频率 ω_n 及超调量 M_p ；

(2) 求系统的稳态误差系数 K_p ， K_v 和 K_a ；

(3) 若希望将系统的稳态误差系数增大到原来的 10 倍，又不使闭环系统的主导极点有明显的变化，引入滞后校正装置

$$G_c(s) = K_c \cdot \frac{s + 0.05}{s + 0.005}$$

绘制校正后系统的根轨迹图，校正后闭环系统的极点是否发生变化，为什么？

(4) 求校正装置的 K_c 。

(5) 若以闭环复极点为主导极点，求校正系统的单位阶跃响应。

(6) 求校正系统准确的单位阶跃响应，与(5)的结果进行比较，说明出现差别的原因。

解：(1) 该系统有两条根轨迹分支，开环极点分别为 $p_1 = -2$ ， $p_2 = -3$ ，开环无零点。

在实轴上的 $[-3, -2]$ 段是根轨迹。

渐近线和实轴的夹角：

$$\rho = \frac{(2\lambda + 1)\pi}{2}, \lambda = 0, \pm 1, \pm 2, \dots$$

$$\lambda = 0, \rho = \frac{\pi}{2}, \quad \lambda = 1, \rho = \frac{3\pi}{2};$$

渐近线与实轴的交点为：

$$\sigma = \frac{(-2) + (-3)}{2} = -2.5.$$

计算根轨迹在实轴上的分离点(会合点).

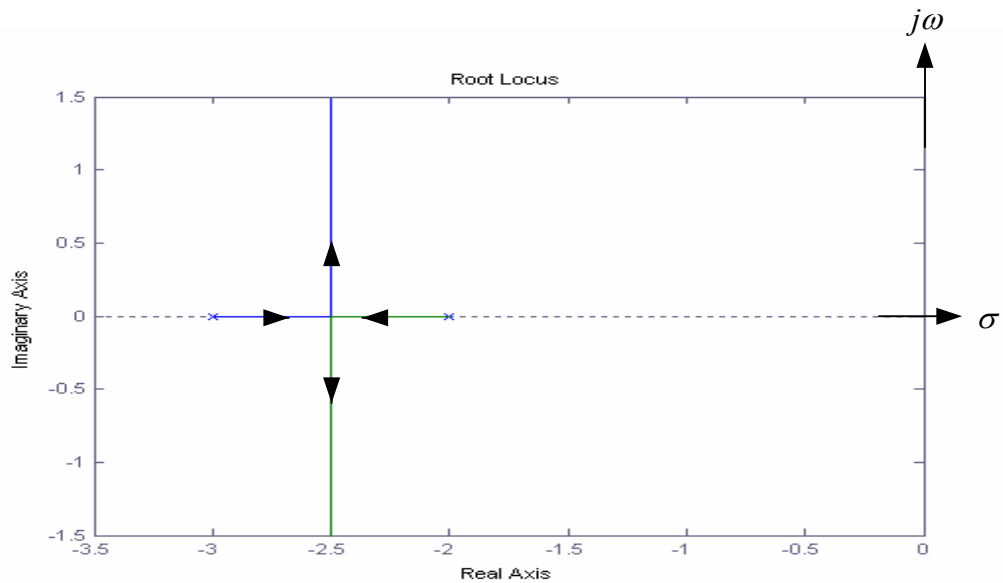
$$P(s)Z'(s) - P'(s)Z(s) = -(2s + 5) = 0$$

该方程的根为: $s_1 = -2.5$.

将以上方程的根代入式 $K_r = -\frac{P(s)}{Z(s)}$, 有 $s_1 = -2.5$ 时, $K_r = 0.25$, 所以根轨迹的分离点为

$s_1 = -2.5$.

绘制原系统根轨迹图如下所示:



当 $K_r = 1$ 时, 闭环系统的传递函数是: $\Phi(s) = \frac{1}{s^2 + 5s + 7}$

所以闭环极点为: $-2.5 \pm 0.866i$, 即 $\zeta\omega_n = 2.5$, $\omega_n = \sqrt{(-2.5)^2 + (0.866)^2} = 2.65$, $\zeta = 0.945$,

求得 $M_p = e^{-\pi\zeta/\sqrt{1-\zeta^2}} \times 100\% = 0.012\%$

(2) 当 $K_r = 1$ 时, 开环增益为 $1/6$ 。因为系统是零型系统, 故有

$$K_p = \lim_{s \rightarrow 0} G(s)H(s) = K = \frac{1}{6}$$

$$K_v = \lim_{s \rightarrow 0} sG(s)H(s) = 0$$

$$K_a = \lim_{s \rightarrow 0} s^2G(s)H(s) = 0$$

(3) 校正后系统的开环传递函数为: $G_c(s)G(s) = K_c \cdot \frac{s + 0.05}{s + 0.005} \cdot \frac{1}{s^2 + 5s + 6}$

该系统的开环极点为 $p_1=-2, p_2=-3, p_3=-0.005$, 开环零点为 $z_1=-0.05$.

实轴上的 $[-3, -2]$ 段和 $[-0.05, -0.005]$ 段是根轨迹.

渐近线和实轴的夹角:

$$\rho = \frac{(2\lambda+1)\pi}{2}, \lambda = 0, \pm 1, \pm 2, \dots$$

$$\lambda = 0, \rho = \frac{\pi}{2}, \quad \lambda = 1, \rho = \frac{3\pi}{2};$$

渐近线与实轴的交点为:

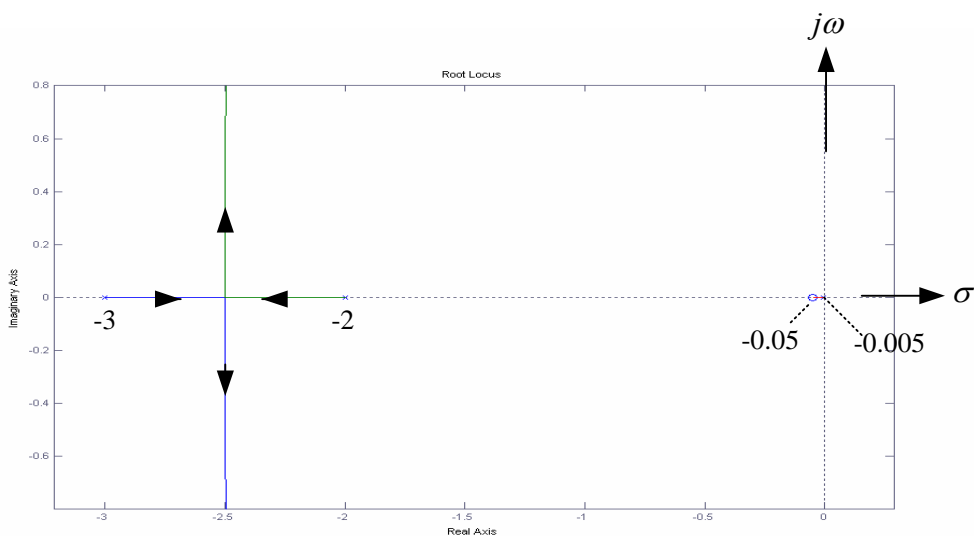
$$\sigma = \frac{(-2) + (-3) + (-0.005) - (-0.05)}{2} = -2.5225.$$

计算根轨迹在实轴上的分离点.

$$P(s)Z'(s) - P'(s)Z(s) = -(2s^3 + 5.155s^2 + 0.5005s + 0.2712) = 0$$

该方程的根为: $s_1 = -2.4991$, $s_{2,3} = -0.0392 \pm 0.2296i$, 当 $s_{2,3} = -0.0392 \pm 0.2296i$ 时, 对应的 K_r 为负值, 故根轨迹的分离点为 $s_1 = -2.4991$

绘制原系统根轨迹图如下所示:



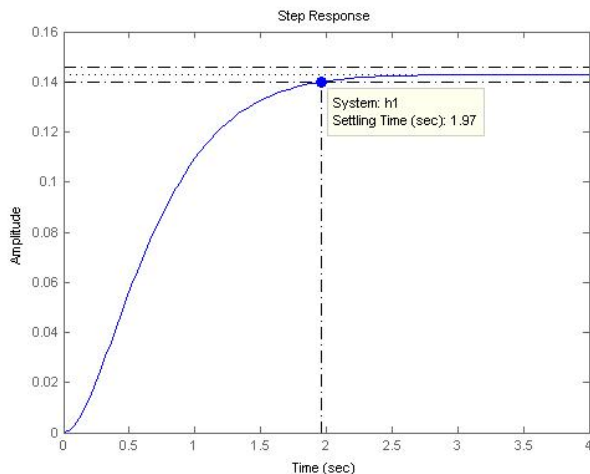
比较校正前和校正后的根轨迹图可知, 校正后闭环系统的根轨迹几乎没有发生变化, 因为滞后环节加入的零点和极点相距很近, 构成了一对偶极子, 且远离其他的极点, 他们对系统的作用相互抵消, 故原系统的根轨迹形状几乎没有改变。

(4) 将滞后校正装置化成时间常数形式可知, 校正环节提供的增益为 10, 若 $K_r=1$, 可以保证校正后系统的开环增益提高了 10 倍, 即校正后系统的稳态误差系数增大到原来的 10 倍。

(5) 以 (1) 所求的共轭极点为主导极点, 可得到系统的闭环传递函数为

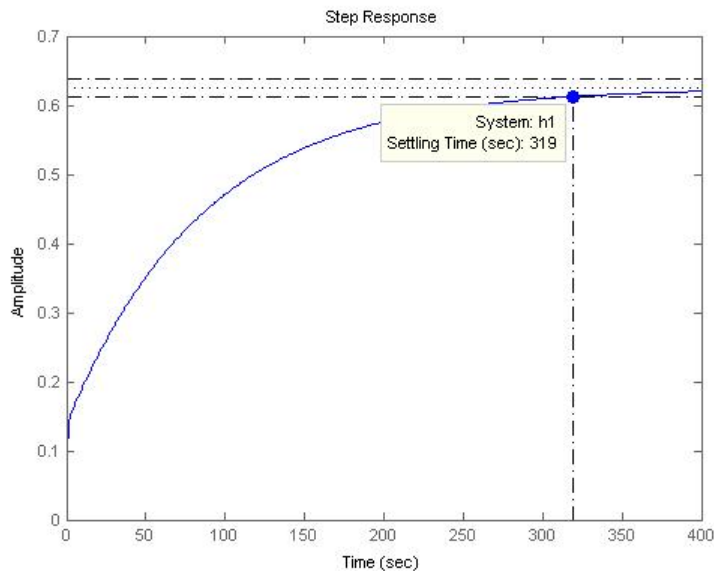
$$\Phi_1(s) = \frac{K_1}{s^2 + 2\zeta\omega_n s + \omega_n^2} = \frac{K_1}{s^2 + 5s + 7}, \text{ 注意到调整时间与 } K_r \text{ 无关。}$$

其阶跃响应为:



(6) 校正后系统的闭环传递函数为 $\Phi_2(s) = \frac{K_2(s+0.05)}{(s+0.005) \cdot (s^2 + 5s + 6) + (s+0.05)}$

准确的单位阶跃响应为:



可以看出, 准确的单位阶跃响应曲线与主导极点的响应曲线变化不大, 稳态偏差都很小, 但是调整时间变的很长, 这是由于准确系统中还存在两个很靠近虚轴的零点和极点, 由于他们的存在使动态过程很慢. 一般主导极点离虚轴越远动态性能越好, 离虚轴越近, 动态性能越差。

C4-3 若既要改善系统的动态性能，又要提高系统的稳态性能，可以用超前滞后校正装置

$$G_c(s) = K_c \frac{(\alpha T_1 s + 1)(T_2 s + 1)}{(T_1 s + 1)(\beta T_2 s + 1)}$$

式中， $\alpha, \beta > 1$ 。现考虑单位反馈系统，其开环传递函数为

$$G(s) = \frac{3}{s(s+1)}$$

现要求既加大稳态误差系数，又减小系统的超调量，引入超前滞后校正装置

$$G_c(s) = \frac{(s+1)(s+0.1)}{(s+1.42)(s+0.008)}$$

(1) 绘制原系统的根轨迹图，并求闭环系统的极点，以及阻尼比 ζ ，无阻尼振荡角频率 ω_n 和速度误差系数 K_v ；

(2) 求原系统的单位阶跃响应；

(3) 绘制引入校正装置后系统的根轨迹图，并求闭环系统的主导极点，以及阻尼比 ζ ，无阻尼振荡角频率 ω_n 和速度误差系数 K_v ；

(4) 求校正后系统的单位阶跃响应，并与(2)的结果进行比较，说明校正装置的作用。

解：(1) 原系统根轨迹有 2 条分支，开环极点分别是 $p_1=0, p_2=-1$ ，开环无零点。

实轴上的 $[-1, 0]$ 段是根轨迹，实轴上的分离点为 -1 和 0 的几何中心，即分离点为 -0.5
渐近线和实轴的夹角：

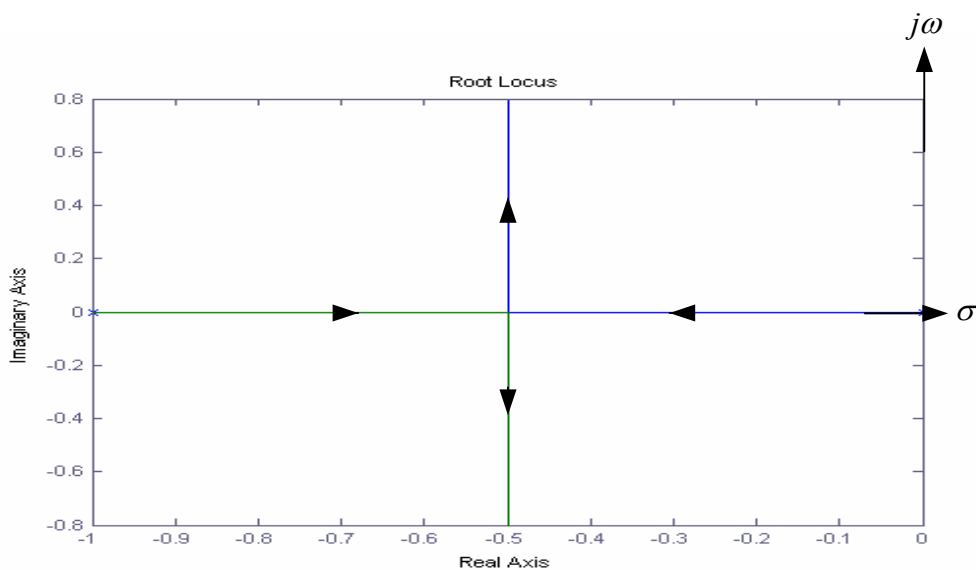
$$\rho = \frac{(2\lambda+1)\pi}{2}, \lambda = 0, \pm 1, \pm 2, \dots$$

$$\lambda = 0, \rho = \frac{\pi}{2}, \quad \lambda = 1, \rho = \frac{3\pi}{2};$$

渐近线与实轴的交点为：

$$\sigma = \frac{-1+0}{2} = -0.5$$

绘制根轨迹如下图：

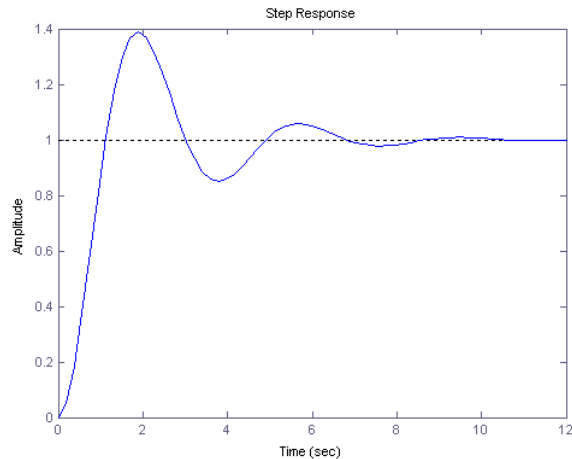


闭环系统的传递函数为: $\Phi(s) = \frac{3}{s^2 + s + 3}$

由闭环传递函数可求闭环极点: $s_{1,2} = -0.5000 \pm 1.6583i$, 无阻尼自然振荡频率 $\omega_n = \sqrt{3}$ 。由

$\zeta\omega_n = 0.5$, 得到 $\zeta = 0.29$, 由开环传递函数可求速度误差系数 $K_v = \lim_{s \rightarrow 0} sG(s)H(s) = 3$

(2) 原系统阶跃响应如图: 进一步可求得超调量 $M_p = 38.8\%$, 调整时间为 $7.87s$



(3) 引入校正后, 消去分子和分母的相同项 $(s+1)$ 不影响根轨迹的形状, 系统开环传递函数为: $G(s)G_c(s) = \frac{3(s+0.1)}{s(s+1.25)(s+0.008)}$,

根轨迹有 3 条分支, 开环极点分别是 $p_1=0, p_2=-1.25, p_3=-0.008$, 开环零点为 $z_1=-0.1$.

实轴上的 $[-0.008, 0]$ 段和 $[-1.25, -0.1]$ 段是根轨迹

渐近线和实轴的夹角:

$$\rho = \frac{(2\lambda+1)\pi}{2}, \lambda = 0, \pm 1, \pm 2, \dots$$

$$\lambda = 0, \rho = \frac{\pi}{2}, \quad \lambda = 1, \rho = \frac{3\pi}{2};$$

渐近线与实轴的交点为:

$$\sigma = \frac{(-1.25) + (-0.008) - (-0.1)}{2} = -0.579$$

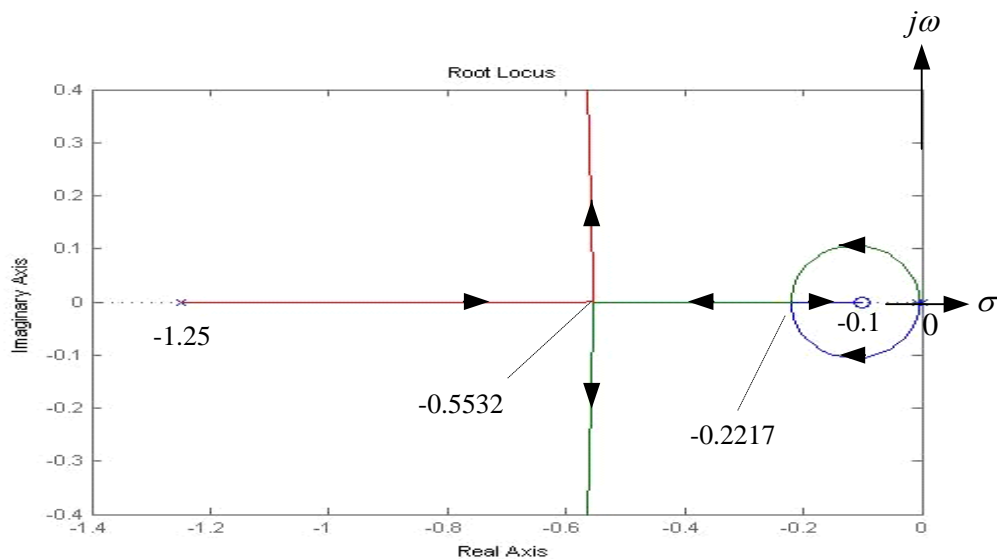
计算根轨迹在实轴上的分离点和汇合点.

$$P(s)Z'(s) - P'(s)Z(s) = -(2s^3 + 1.558s^2 + 0.2516s + 0.001) = 0$$

该方程的根为: $s_1=-0.0041, s_2=-0.5532, s_3=-0.2217$, 将以上方程的根代入式

$K_r = -\frac{P(s)}{Z(s)}$, K_r 都取正值, 根轨迹的分离点为-0.0041 和-0.5532, 会合点为-0.2217.

绘制根轨迹图形如下所示.



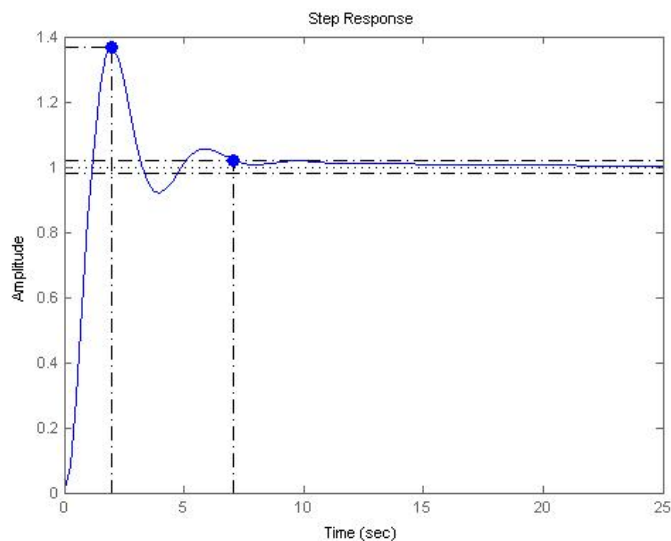
闭环系统的传递函数为: $\Phi(s) = \frac{3s + 0.3}{s^3 + 1.258s^2 + 3.01s + 0.3}$

闭环极点为: $s_{1,2} = -0.5771 \pm j1.5991$, $s_3 = -0.1038$ 。由于 $s_3 = -0.1038$ 和系统零点 $s = -0.1$ 非常接近, 组成偶极子, 因此系统可以近似为极点是 $s_{1,2} = -0.5771 \pm j1.5991$ 的二阶系统。

由此, $\zeta\omega_n = 0.5771$, $\omega_n\sqrt{1-\zeta^2} = 1.5991$

解得: $\zeta = 0.339$, $\omega_n = 1.702$ 速度误差系数 $K_v = \lim_{s \rightarrow 0} sG(s)H(s) = 30$

(4) 校正后系统的单位阶跃响应如图:



校正后阶跃响应的超调量为 36.6%，调整时间为 7.06s，校正前系统的超调量为 38.8%，调整时间为 7.87s。由此可以比较出，对系统使用了超前-滞后校正控制器后，系统的动态指标有所改善，同时，由于速度误差系数增大了，速度稳态误差就减小了许多。因此，超前-滞后校正能同时改善系统的稳态和动态性能。

D4-1：用 MATLAB 绘制下列系统的根轨迹图：

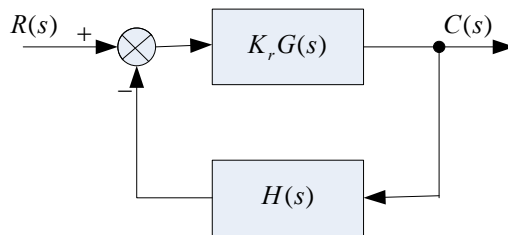


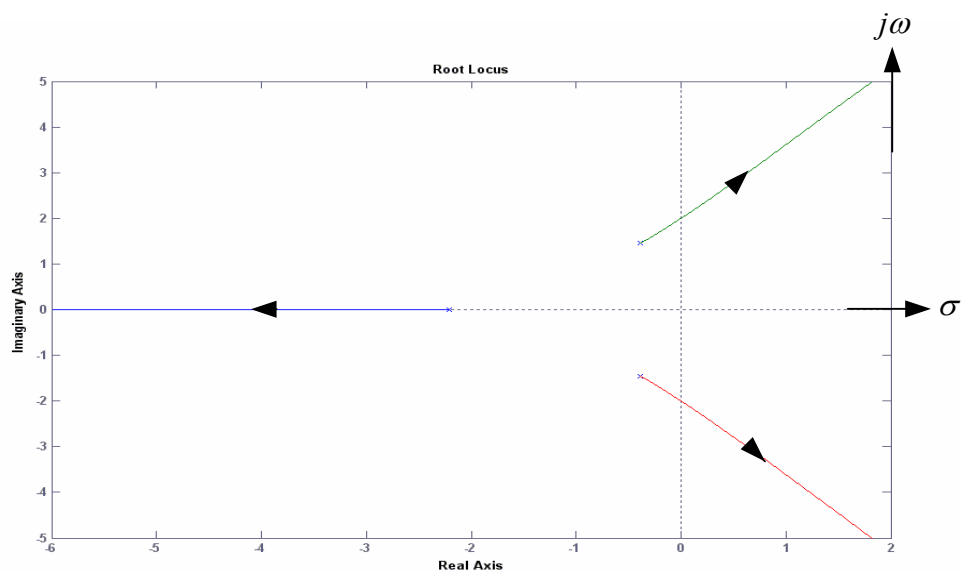
图 D4-1 题 D4-1 系统图

- (1) $G(s) = \frac{1}{s^3 + 3s^2 + 4s + 5}$, $H(s) = 1$;
- (2) $G(s) = \frac{s+10}{s^4 + 5s^3 + 2s + 1}$, $H(s) = s + 5$;
- (3) $G(s) = \frac{s^5 + 6s^4 + 3s^3 + 2s^2 + 5s + 8}{s^6 + 6s^5 + 3s^4 + 7s^3 + 2s^2 + 9s}$, $H(s) = 1$;
- (4) $G(s) = \frac{s^2 + 2s + 2}{s^2 + 3s + 2}$, $H(s) = 1$;
- (5) $G(s) = \frac{s+1}{s^3 + 2s + 5}$, $H(s) = 5s$ 。

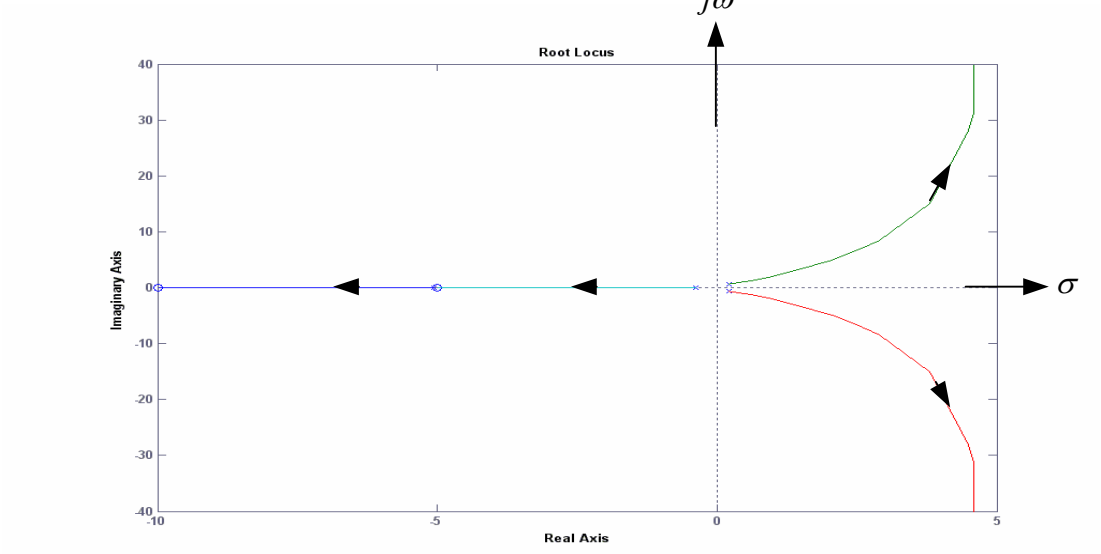
解：

在 MATLAB 中调用命令 rlocus 绘制根轨迹图形如下。

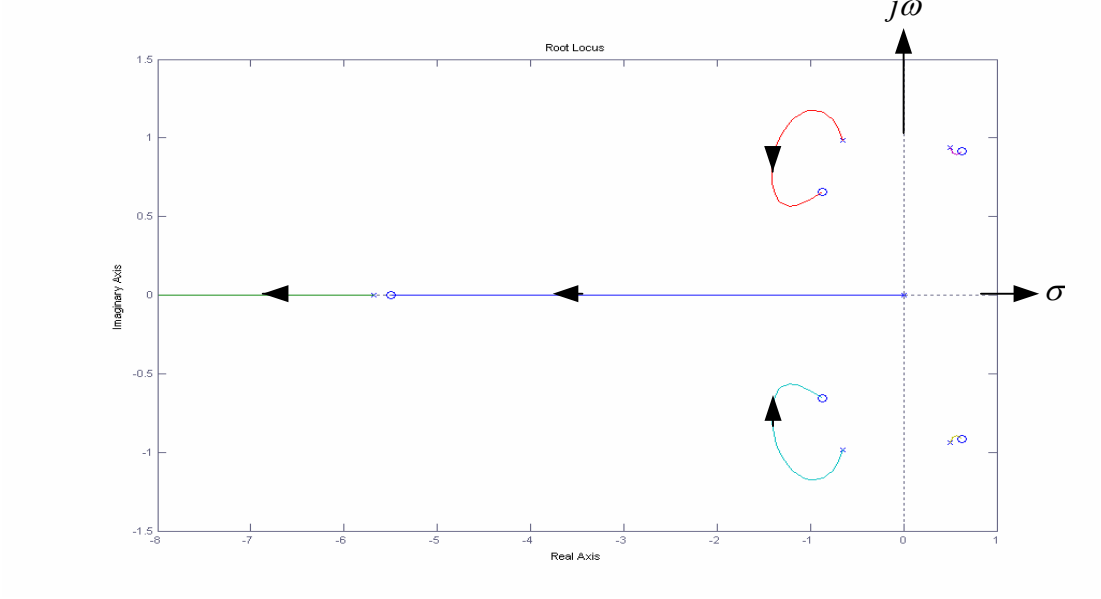
(1)



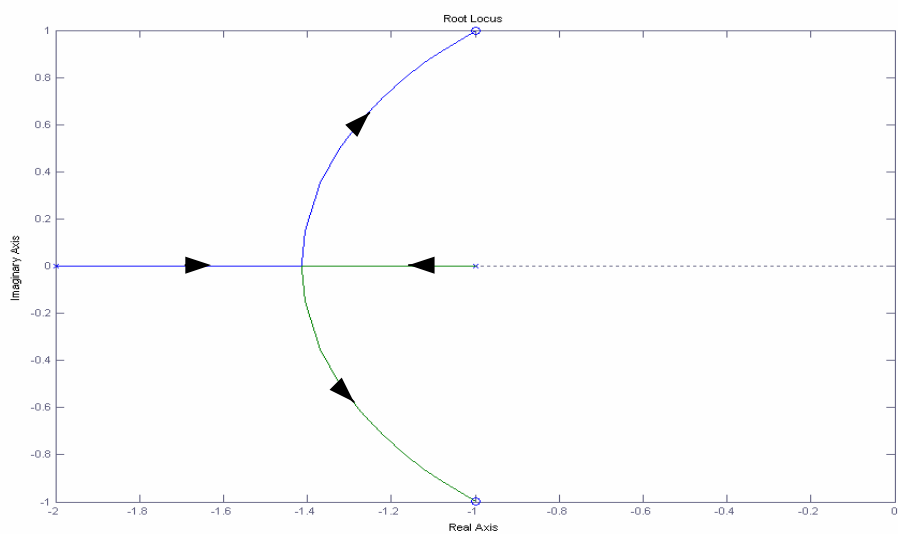
(2)



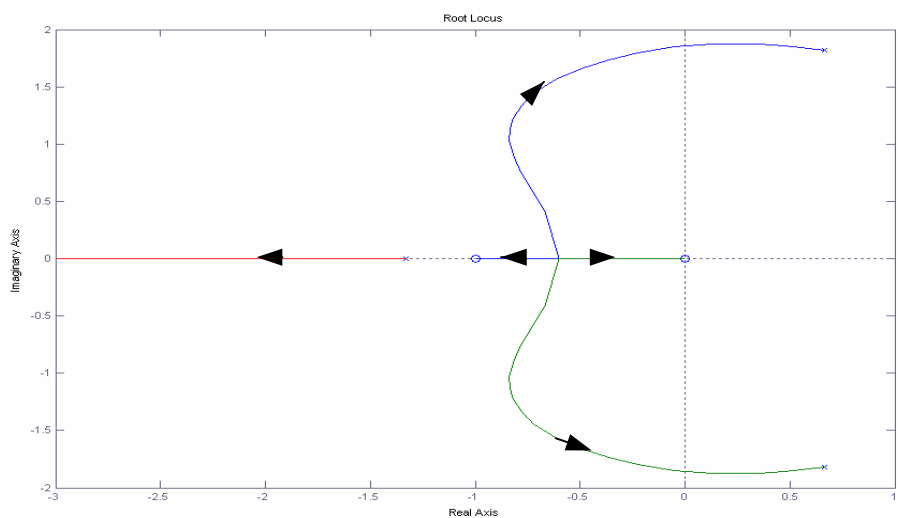
(3)



(4)



(5)



D4-2: 某单位反馈系统的开环传递函数为:

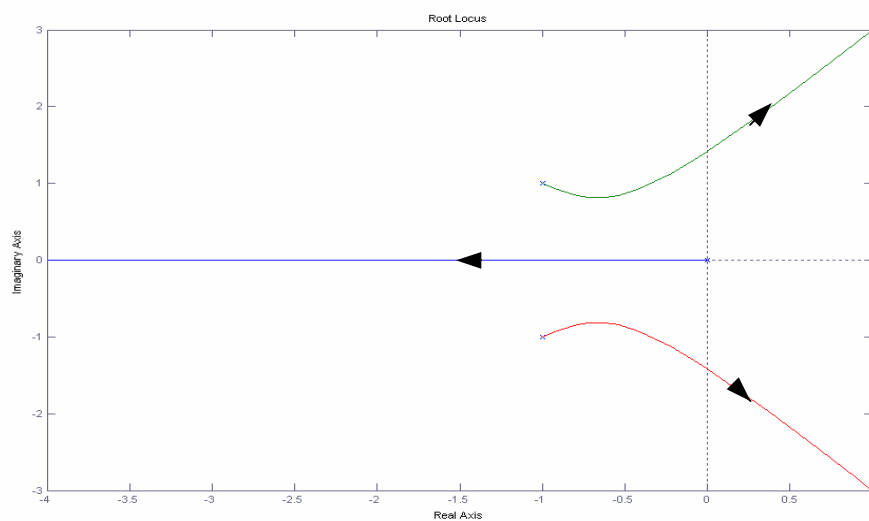
$$G(s) = \frac{K_r}{s(s^2 + 2s + 2)}$$

用 MATLAB 求:

- (1) 系统稳定的增益 K_r ;
- (2) 闭环系统主导极点为 $\zeta = 0.5$ 时的增益 K_r 。

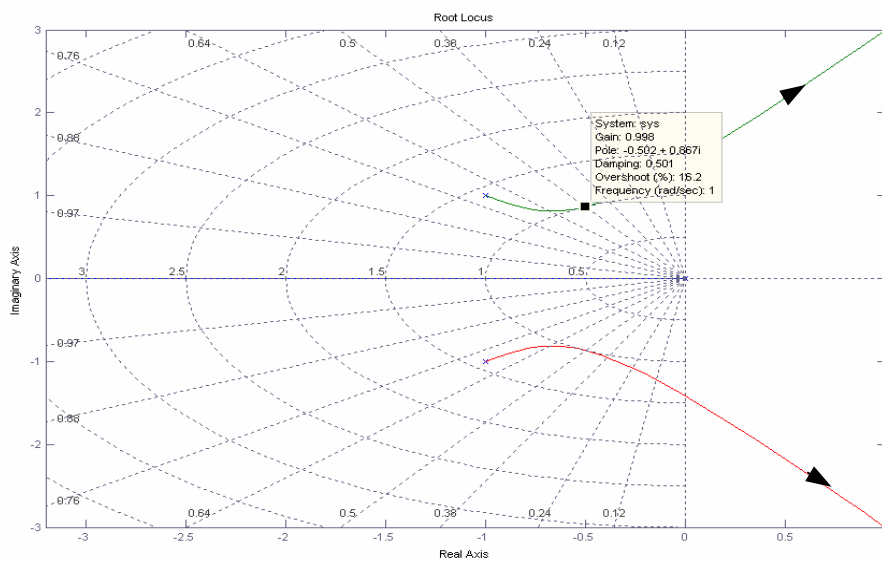
解:

- (1) 系统的根轨迹如图:



由根轨迹图读出根轨迹与虚轴的交点处 $K_r=4$, 所以当 $0 < K < 4$ 时系统稳定

(2) 在根轨迹图中做 $\zeta = 0.5$ 的直线, 与根轨迹相交处就是系统的主导极点。此处的 $K_r=1$



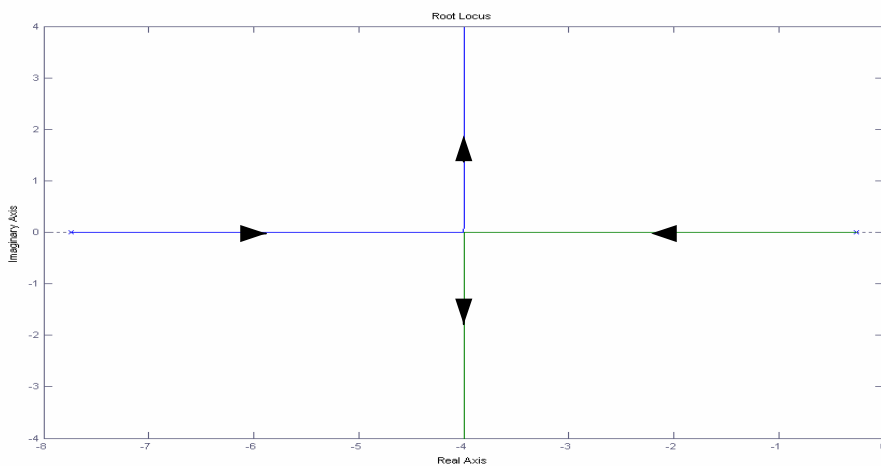
D4-3: 用 MATLAB 求下列单位反馈系统, 以 a 为变量的根轨迹图:

$$G(s) = \frac{5s + a}{s^2 + 3s + 2}$$

解:

系统闭环特征方程为: $s^2 + 8s + a + 2 = 0$

所以等效的开环传递函数为： $\frac{a}{s^2 + 8s + 2}$ ，以 a 为变量的根轨迹如图：



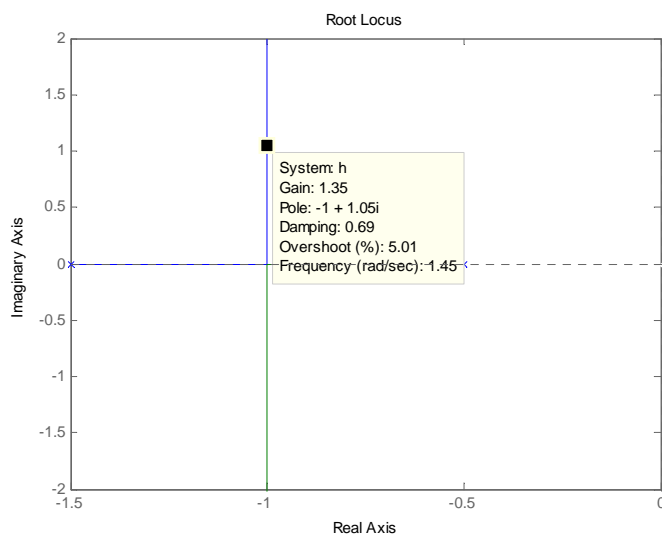
D4-4：对图 A4-1（题 A4-2）的系统，设：

- (1) $G_c(s) = K_r$ （比例控制）；
- (2) $G_c(s) = \frac{K_r}{s}$ （积分控制）；
- (3) $G_c(s) = K_r(1 + \frac{1}{s})$ （比例积分控制）
- (4) $G_c(s) = K_r(5 + s)$ （比例微分控制）

用 MATLAB 分别绘制(1)–(4)四种情况下， $0 \leq K_r < \infty$ 的根轨迹图；求取 $M_p \leq 5\%$ 的 K_r 值；比较四种控制下系统的稳态误差和瞬态响应指标，并讨论比例、积分和微分控制对系统性能的影响。

解：

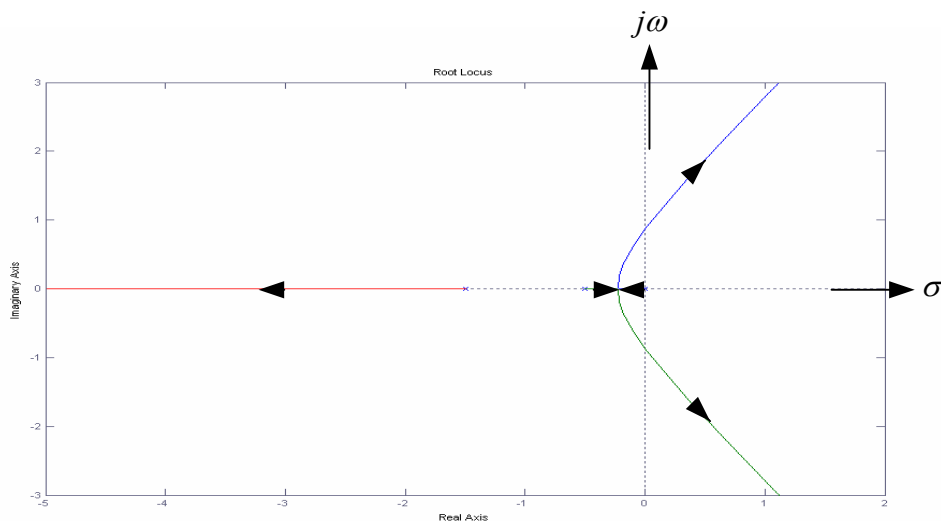
(1) 根轨迹图：



利用 MATLAB, 可以从 MATLAB 运行的工作空间的图中读出, 当 $M_p \leq 5\%$ 时, $K_r \leq 1.35$,

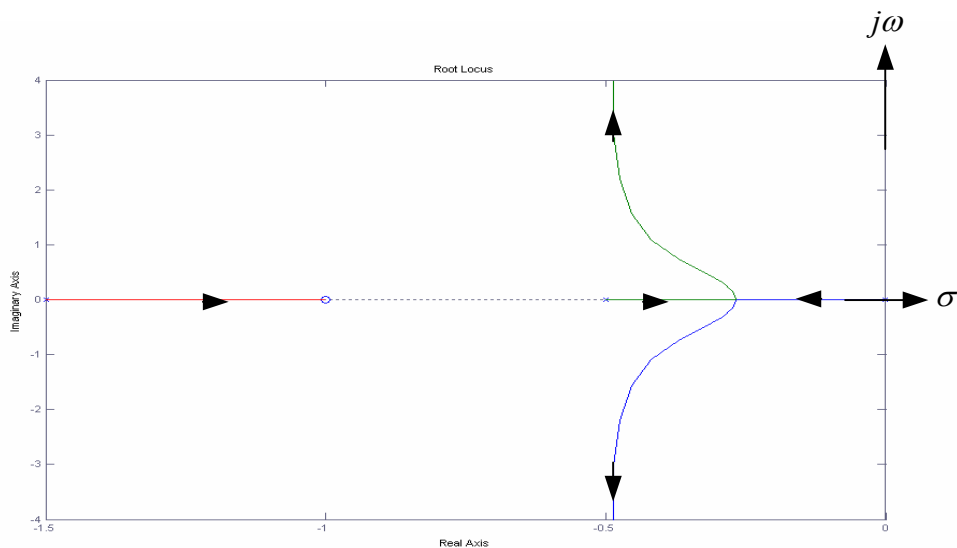
$K_r=1$ 时, 利用 MATLAB 求出阶跃响应, 可得超调量 $M_p = 2.66\%$, 调整时间为 4.3s, 位置误差系数为 4/3

(2)



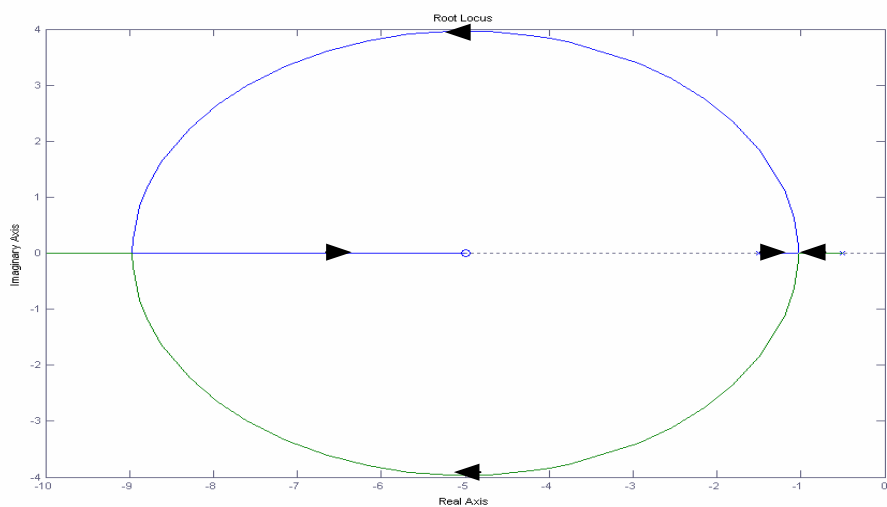
在图上读取当 $M_p \leq 5\%$ 时, $K_r \leq 0.143$, $K_r=1$ 时, 同样可求得 $M_p = 72.3\%$, 调整时间为 65.9s, 位置误差系数为 ∞ , 即阶跃信号作用下稳态误差为 0。

(3)



在图上读取当 $M_p \leq 5\%$ 时, $K_r \leq 0.252$, $K_r=1$ 时, 同样可求得 $M_p = 26.7\%$, 调整时间为 9.25s, 位置误差系数为 ∞ , 即阶跃信号作用下稳态误差为 0。

(4)



在图上读取当 $M_p \leq 5\%$ 时, $K_r \leq 0.535$ 或 ≥ 4.92 , $K_r = 1$ 时, 同样可求得 $M_p = 9.47\%$, 调整时间为 2.28s , 位置误差系数为 $20/3$.

由以上四种情况可以看出, 比例调节能调节系统的根轨迹增益; 积分使得根轨迹朝右偏, 闭环极点右移, 动态响应变差, 即超调量和调整时间均增加了, 但是系统的型号提高了, 跟踪能力提高了; 比例积分调节增加了开环一对零极点, 根轨迹渐近线左移, 系统稳定性可望改善, 而且系统的型号提高了, 也提高了跟踪能力; 而微分作用增加了系统的一个零点, 根轨迹左偏, 能改善系统的动态性能, 使系统响应变快, 但是系统型号未变, 跟踪能力没有改善。